

International Nonproprietary Names for Pharmaceutical Substances (INN)

RECOMMENDED International Nonproprietary Names: List 59

Notice is hereby given that, in accordance with paragraph 7 of the Procedure for the Selection of Recommended International Nonproprietary Names for Pharmaceutical Substances [*Off. Rec. Wld Health Org.*, 1955, **60**, 3 (Resolution EB15.R7); 1969, **173**, 10 (Resolution EB43.R9)], the following names are selected as Recommended International Nonproprietary Names. The inclusion of a name in the lists of Recommended International Nonproprietary Names does not imply any recommendation of the use of the substance in medicine or pharmacy.

Lists of Proposed (1–96) and Recommended (1–57) International Nonproprietary Names can be found in *Cumulative List No. 12, 2007* (available in CD-ROM only).

Dénominations communes internationales des Substances pharmaceutiques (DCI)

Dénominations communes internationales RECOMMANDÉES: Liste 59

Il est notifié que, conformément aux dispositions du paragraphe 7 de la Procédure à suivre en vue du choix de Dénominations communes internationales recommandées pour les Substances pharmaceutiques [*Actes off. Org. mond. Santé*, 1955, **60**, 3 (résolution EB15.R7); 1969, **173**, 10 (résolution EB43.R9)] les dénominations ci-dessous sont choisies par l'Organisation mondiale de la Santé en tant que dénominations communes internationales recommandées. L'inclusion d'une dénomination dans les listes de DCI recommandées n'implique aucune recommandation en vue de l'utilisation de la substance correspondante en médecine ou en pharmacie.

On trouvera d'autres listes de Dénominations communes internationales proposées (1–96) et recommandées (1–57) dans la *Liste récapitulative No. 12, 2007* (disponible sur CD-ROM seulement).

Denominaciones Comunes Internacionales para las Sustancias Farmacéuticas (DCI)

Denominaciones Comunes Internacionales RECOMENDADAS: Lista 59

De conformidad con lo que dispone el párrafo 7 del Procedimiento de Selección de Denominaciones Comunes Internacionales Recomendadas para las Sustancias Farmacéuticas [*Act. Of. Mund. Salud*, 1955, **60**, 3 (Resolución EB15.R7); 1969, **173**, 10 (Resolución EB43.R9)], se comunica por el presente anuncio que las denominaciones que a continuación se expresan han sido seleccionadas como Denominaciones Comunes Internacionales Recomendadas. La inclusión de una denominación en las listas de las Denominaciones Comunes Recomendadas no supone recomendación alguna en favor del empleo de la sustancia respectiva en medicina o en farmacia.

Las listas de Denominaciones Comunes Internacionales Propuestas (1–96) y Recomendadas (1–57) se encuentran reunidas en *Cumulative List No. 12, 2007* (disponible sólo en CD-ROM).

Latin, English, French, Spanish:

Recommended INN

Chemical name or description; Molecular formula; Graphic formula

DCI Recommandée

Nom chimique ou description; Formule brute; Formule développée

DCI Recomendada

Nombre químico o descripción; Fórmula molecular; Fórmula desarrollada

alaninati brivanibum

brivanib alaninate

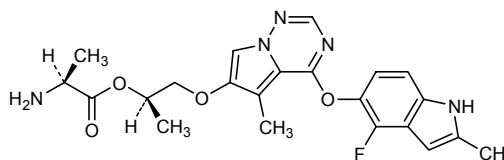
(2R)-1-({4-[(4-fluoro-2-methyl-1H-indol-5-yl)oxy]-5-methylpyrrolo-[2,1-f][1,2,4]triazin-6-yl}oxy)propan-2-yl L-alaninate

alaninate de brivanib

L-alaninate de (2R)-1-({4-[(4-fluoro-2-méthyl-1H-indol-5-yl)oxy]-5-méthylpyrrolo[2,1-f][1,2,4]triazin-6-yl}oxy)propan-2-yle

alaninato de brivanib

L-alaninato de (2R)-1-({4-[(4-fluoro-2-metil-1H-indol-5-il)oxi]-5-metilpirrolo[2,1-f][1,2,4]triazin-6-il}oxi)propan-2-ilo

C₂₂H₂₄FN₅O₄**albiglutidum***

albiglutide

([8-glycine]human glucagon-like peptide 1-(7-36)-peptidyl)
([8-glycine]human glucagon-like peptide 1-(7-36)-peptidyl)(human serum albumin (585 residues))

albiglutide

([8-glycine]peptide 1 analogue au glucagon humain-(7-36)-peptidyl)([8-glycine]peptide 1 analogue au glucagon humain-(7-36)-peptidyl)(albumine sérique humaine (585 aminoacides))

albiglutida

([8-glicina]péptido1 análogo al glucagón humano-(7-36)-peptidil)
([8-glicina]péptido 1 análogo al glucagón humano-(7-36)-peptidil)(albumina séria humana (585 aminoácidos))C₃₂₃₂H₅₀₃₂N₈₆₄O₉₇₉S₄₁

HGEGTFTSDV	SSYLEGQAAK	EFIAWLKGR	HGEGTFTSDV	SSYLEGQAAK	50
EFIAWLKGR	DAHKSEVAHR	FKDLGEENFK	ALVLIIFAQY	LQCCPFEDHV	100
KLVNEVTEFA	KTCVADESAAE	NCDKSLHTLF	GDKLCTVATL	RETYGEMADC	150
CAKQEPERNE	CFLQHKDDNP	NLPRLVRPEV	DVMCTAFHDN	EETFLKKYLY	200
EIARRHPYFY	APELLFFAKR	YKAAFTECCQ	AADKAAACLLP	KLDELREDEGK	250
ASSAKQRLKC	ASLQKFGERA	FKAWAVARLS	QRFPKAEFAE	VSKLVTDLTK	300
VHTECCHGDL	LECADDRADL	AKYICENQDS	ISSKLECCCE	KPLLEKSHCI	350
AEVENDEMPA	DLPSLAADFV	ESKDVCKNYA	EAKDVF LGMF	LYEYARRHPD	400
YSVLLLRLLA	KTYETTLEKC	CAAADPHECY	AKVFDEFKPL	VEEPQNLIKQ	450
NCELFEQLGE	YKFNALLVR	YTKKVPQVST	PTLVEVSRNL	GKVGSKCCKH	500
PEAKRMPCAE	DYLSVVLNQL	CVLHEKTPVS	DRVTKCTES	LVNRRPCFSA	550
LEVDETYVPK	EFNAETFTFH	ADICTLSEKE	RQIKKQTALV	ELVKHKPKAT	600
KEQLKAVMDD	FAAFVEKCKC	ADDKETCFAE	EGKKLVAASQ	AALGL	645

Disulfide bridges location Position des ponts disulfure / Posiciones de los puentes disulfuro
 113-122 135-151 150-161 184-229 228-237 260-306 305-313 325-339 338-349
 376-421 420-429 452-498 497-508 521-537 536-547 574-619 618-627

albinterferonum alfa-2b* albinterferon alfa-2b	human serum albumin (585 residues) fusion protein with human interferon α -2b (165 residues)
albinterféron alfa-2b	protéine de fusion entre l'albumine sérique humaine (585 aminoacides) et l'interféron α -2b humain (165 aminoacides)
albinterferón alfa 2b	proteína de fusión entre la albumina sérica humana (585 aminoácidos) y el interferón α -2b humano (165 aminoácidos)

C₃₇₉₆H₅₉₃₇N₁₀₁₅O₁₁₄₃S₅₀

DAHKSEVAHR FKDLGEEFK ALVLIIFAQY LQQCPFEDHV KLVNEVTEFA 50
 KTCVADESAS NCDKSLHTLF GDKLCTVATL RETYGEMADC CAKQEPERNE 100
 CFLQHKDDNP NLPRLVRPEV DVMCTAFHDN EETFLLKYYLY EIARRHPYFY 150
 APELLFFAKR YKAAFTECCQ AADKAAACLLP KLDELRLDEGK ASSAKQRLKC 200
 ASLQKFGERA FKAWAVARLS QRFPKAEFAE VSKLVTDLTK VHTCCCHGDL 250
 LECADDRADL AKYICENQDS ISSKLKECCE KPLLEKSHCI AEVENDEMPA 300
 DLPSLAADFV ESKDVCKNYA EAKDVFLGMF LYEYARRHPD YSVVLLRLA 350
 KTYETTLEKC CAAADPHECY AKVFDEFKPL VEEPQNLIKQ NCELFEQLGE 400
 YKFNALLVR YTKKVPQVST PTLVEVSRNL GKVGSKCCKH PEAKRMPCAE 450
 DYLSVVLNQL CVLHEKTPVS DRVTKCCTES LVNRRPCFSA LEVDETYVPK 500
 EFNAETTFH ADICTLSEKE RQIKKQTALV ELVKHKPKAT KEQLKAVMDD 550
 FAAFVEKCKC ADDKETCFAE EGKLVVAASQ AALGLCDLPQ THSLGSRRTL 600
 MLLAQMRRI LFSCLKDRHD FGFPOEEFGN QFQKAETIPV LHEMIQIFN 650
 LFSTKDSAA WDETLLDKFY TELYQQLNDL EACVIQGVGV TETPLMKEDS 700
 ILAVRKYFQR ITLYLKEKKY SPCAWEVVRA EIMRSFSLST NLQESLSRKE 750

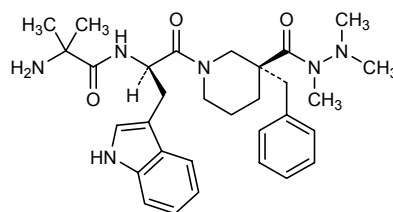
Disulfide bridges location / Position des ponts disulfure / Posiciones de los puentes disulfuro

53-62 75-91 90-101 124-169 168-177 200-246 245-253 265-279
 278-289 316-361 360-369 392-438 437-448 461-477 476-487 514-559
 558-567 586-683 614-723

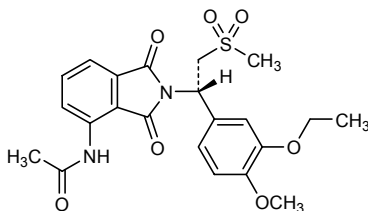
Glycosylation sites : N-318 T-691

anamorelinum anamorelin	(3 <i>R</i>)-3-benzyl- <i>N,N,N'</i> -trimethyl-1-{2-methylalanyl-D-tryptophyl}=piperidine-3-carbohydrazide
anamoréline	(3 <i>R</i>)-3-benzyl- <i>N,N,N'</i> -triméthyl-1-(2-méthylalanyl-D-tryptophyl)=pipéridine-3-carbohydrazide
anamorelina	(3 <i>R</i>)-3-bencil- <i>N,N,N'</i> -trimetil-1-{2-metilalanyl-D-triptofil}piperidina-3-carbohidrazida

C₃₁H₄₂N₆O₃



apremilastum apremilast	<i>N</i> -{2-[(1 <i>S</i>)-1-(3-ethoxy-4-methoxyphenyl)-2-(methanesulfonyl)ethyl]-1,3-dioxo-2,3-dihydro-1 <i>H</i> -isoindol-4-yl}acetamide
aprémilast	<i>N</i> -{2-[(1 <i>S</i>)-1-(3-éthoxy-4-méthoxyphényl)-2-(méthanesulfonyl)éthyl]-1,3-dioxo-2,3-dihydro-1 <i>H</i> -isoindol-4-yl}acétamide
apremilast	<i>N</i> -{2-[(1 <i>S</i>)-1-(3-etoxi-4-metoxifenil)-2-(metansulfonyl)etil]-1,3-dioxo-2,3-dihidro-1 <i>H</i> -isoindol-4-il}acetamida

C₂₂H₂₄N₂O₇S**arbaclofenum placarbilum**

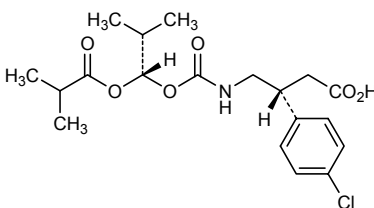
arbaclofen placarbil

(3*R*)-3-(4-chlorophenyl)-4-[[[(1*S*)-2-methyl-1-[(2-methylpropanoyl)oxy]propoxy]carbonyl]amino]butanoic acid

arbaclofène placarbil

acide (3*R*)-3-(4-chlorophényl)-4-[[[(1*S*)-2-méthyl-1-[(2-méthylpropanoyle)oxy]propoxy]carbonyl]amino]butanoïque

arbaclofeno placarbilo

ácido (3*R*)-3-(4-clorofenil)-4-[[[(1*S*)-2-metil-1-[(2-metilpropanoil)oxi]propoxi]carbonil]amino]butanoicoC₁₉H₂₆ClNO₆**arterolanum**

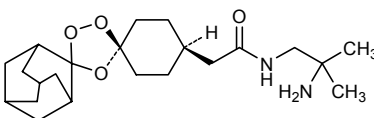
arterolane

N-(2-amino-2-methylpropyl)-2-{*cis*-dispiro[adamantane-2,3'-[1,2,4]trioxolane-5',1"-cyclohexan]-4"-yl}acetamide

artérolane

N-(2-amino-2-méthylpropyle)-2-{*cis*-dispiro[adamantane-2,3'-[1,2,4]trioxolane-5',1"-cyclohexan]-4"-yl}acétamide

arterolano

N-(2-amino-2-metilpropil)-2-{*cis*-dispiro[adamantano-2,3'-[1,2,4]trioxolano-5',1"-ciclohexan]-4"-il}acetamidaC₂₂H₃₆N₂O₄**azilsartanum medoxomilum**

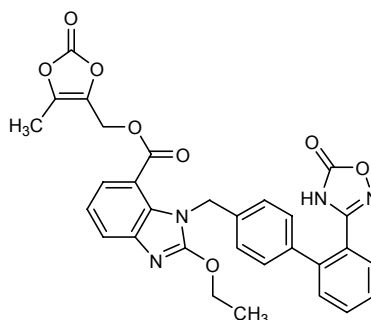
azilsartan medoxomil

(5-methyl-2-oxo-1,3-dioxol-4-yl)methyl 2-ethoxy-1-[[2'-(5-oxo-4,5-dihydro-1,2,4-oxadiazol-3-yl)-1,1'-biphenyl-4-yl]méthyl]-1*H*-benzimidazol-7-carboxylate

azilsartan médoxomil

2-éthoxy-1-[[2'-(5-oxo-4,5-dihydro-1,2,4-oxadiazol-3-yl)-1,1'-biphényl-4-yl]méthyle]-1*H*-benzimidazole-7-carboxylate de (5-méthyl-2-oxo-1,3-dioxol-4-yl)méthyle

azilsartán medoxomilo

2-etoxi-1-[[2'-(5-oxo-4,5-dihidro-1,2,4-oxadiazol-3-il)-1,1'-bifenil-4-il]metil]-1*H*-benzoimidazol-7-carboxilato de (5-metil-2-oxo-1,3-dioxol-4-il)metilo $C_{30}H_{24}N_4O_8$ azoximeri bromidum
azoximer bromide

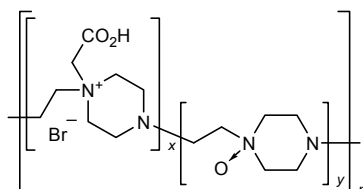
poly[[1-(carboxymethyl)piperazin-1-ium-1,4-diyl bromide]ethylene-co-[(piperazin-1,4-diyl 1-oxide)ethylene]]

bromure d'azixomère

poly[[bromure de 1-(carboxyméthyl)pipérazin-1-ium-1,4-diyl]éthylène-co-[(1-oxyde de pipérazine-1,4-diyl)éthylène]]

bromuro de azoxímero

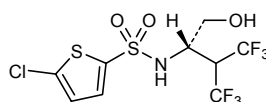
poly[[bromuro de 1-(carboximetil)piperazin-1-io-1,4-diil]etileno-co-[(1-óxido de piperazin-1,4-diil)etileno]]

 $[[C_8H_{15}BrN_2O_2]_x[C_6H_{12}N_2O]_y]_n$ begacestatum
begacestat5-chloro-*N*-[(2*S*)-4,4,4-trifluoro-1-hydroxy-3-(trifluoromethyl)butan-2-yl]thiophene-2-sulfonamide

bégacestat

5-chloro-*N*-[(2*S*)-4,4,4-trifluoro-1-hydroxy-3-(trifluorométhyl)butan-2-yl]thiophène-2-sulfonamide

begacestat

5-cloro-*N*-[(2*S*)-4,4,4-trifluoro-1-hidroxi-3-(trifluorometil)butan-2-il]tiofeno-2-sulfonamida $C_9H_8ClF_6NO_3S_2$ 

belataceptum

belatacept

[Tyr²⁹,Glu¹⁰⁴,Gln¹²⁵,Ser¹³⁰,Ser¹³⁶,Ser¹³⁹,Ser¹⁴⁸](antigen CTLA-4 human-3-126)-peptide (fragment containing the human extracellular domain) fusion protein with immunoglobulin G1-[233 amino acids from the C-terminal of the heavy chain]-peptide (fragment containing the human monoclonal Fc domain), bimolecular (120→120')-disulfide

bélatcept

(120→120')-disulfure bimoléculaire de [Tyr²⁹,Glu¹⁰⁴,Gln¹²⁵,Ser¹³⁰,Ser¹³⁶,Ser¹³⁹,Ser¹⁴⁸](antigène CTLA-4 humain-[3-126]-peptide (fragment contenant le domaine extracellulaire) protéine de fusion avec l'immunoglobuline G1-[233 aminoacides C-terminaux de la chaîne lourde]-peptide (fragment contenant le domaine Fc de l'anticorps monoclonal humain))

belatacept

(120→120')-disulfuro bimolecular de [Tyr²⁹,Glu¹⁰⁴,Gln¹²⁵,Ser¹³⁰,Ser¹³⁶,Ser¹³⁹,Ser¹⁴⁸](antígeno CTLA-4 humano-[3-126]-péptido (fragmento que contiene el dominio extracelular) proteína de fusión con la inmunoglobulina G1-[233 aminoácidos C-terminales de la cadena pesada]-péptido (fragmento que contiene el dominio Fc del anticuerpo monoclonal humano))

C₃₅₀₈H₅₄₄₀N₉₂₂O₁₀₉₆S₃₂

MHVAQPAVVL	ASSRGIASFV
CEYASPGKYT	EVRVTVLRQA
DSQVTEVCAA	TYMMGNELTF
LDDSICTGTS	SGNQVNLTIQ
GLRAMDTGLY	ICKVELMYPP
PYYEGIGNGT	QIYVIDPEPC
PDSDQEPKSS	DKTHTSPPS*P
APELLGGSSV	FLFPPKPKDT
LMSRTPEVT	CVVVDVSHED
PEVKFNWYVD	GVEVHNAKTK
PREEQYNSTY	RVVSVLTVLH
QDWLNGKEYK	CKVSNKALPA
PIEKTISKAK	GQPREPQVYT
LPPSRDELTK	NQVSLTCLVK
GFYPSDIAVE	WESNGQPENN
YKTTTPVLDS	DGSFFLYSKL
TVDKSRWQQG	NVFSQCSVMHE
ALHNNHYTQKS	LSLSPGK

* glycosylation sites
* sites de glycosylation
* posiciones de glicosilación

belinostatum

belinostat

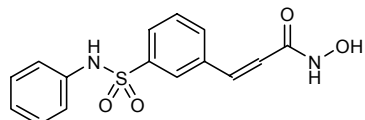
N-hydroxy-3-[3-(*N*-phenylsulfamoyl)phenyl]prop-2-enamide

bélinostat

N-hydroxy-3-[3-(phénylsulfamoyl)phényl]prop-2-ènamide

belinostat

N-hidroxi-3-{3-[(fenilsulfamoil]fenil}prop-2-enamida

C₁₅H₁₄N₂O₄S**boceprevirum**

boceprevir

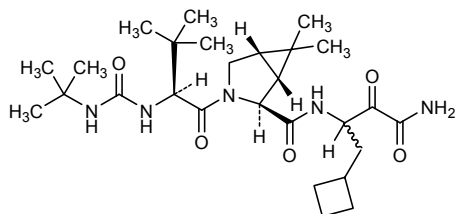
(1*R*,2*S*,5*S*)-*N*-[(2*E*)-4-amino-1-cyclobutyl-3,4-dioxobutan-2-yl]-3-[(2*S*)-2-[(*tert*-butylcarbamoyl)amino]-3,3-dimethylbutanoyl]-6,6-dimethyl-3-azabicyclo[3.1.0]hexane-2-carboxamide

bocéprévir

(1*R*,2*S*,5*S*)-*N*-[(2*E*)-4-amino-1-cyclobutyl-3,4-dioxobutan-2-yl]-3-[(2*S*)-2-[(*tert*-butylcarbamoyl)amino]-3,3-diméthylbutanoyl]-6,6-diméthyl-3-azabicyclo[3.1.0]hexane-2-carboxamide

boceprevir

(1*R*,2*S*,5*S*)-*N*-[(2*E*)-4-amino-1-ciclobutil-3,4-dioxobutan-2-il]-3-[(2*S*)-2-[(*tert*-butilcarbamoil)amino]-3,3-dimetilbutanoil]-6,6-dimetil-3-azabicyclo[3.1.0]hexano-2-carboxamida

C₂₇H₄₅N₅O₅**canakinumabum***

canakinumab

immunoglobulin G1, anti-[*Homo sapiens* interleukin 1, beta (IL1B)] human monoclonal ACZ885; gamma1 heavy chain (*Homo sapiens* VH-IGHG1*03) (221-214')-disulfide with kappa light chain (*Homo sapiens* V-KAPPA-IGKC*01); (227-227'':230-230'')-bisdisulfide dimer

canakinumab

immunoglobuline G1, anti-[*Homo sapiens* interleukine 1, beta (IL1B)] anticorps monoclonal humain ACZ885; chaîne lourde gamma1 (*Homo sapiens* VH-IGHG1*03) (221-214')-disulfure avec la chaîne légère kappa (*Homo sapiens* V-KAPPA-IGKC*01); dimère (227-227'':230-230'')-bisdisulfure

canakinumab

inmunoglobulina G1, anticuerpo monoclonal humano ACZ885 anti-[interleukina 1 de *Homo sapiens*, beta (IL1B)]; cadena pesada gamma1 (*Homo sapiens* VH-IGHG1*03) (221-214')-disulfuro con la cadena ligera kappa (*Homo sapiens* V-KAPPA-IGKC*01); dímero (227-227'':230-230'')-bisdisulfuro

C₆₄₅₂H₉₉₅₈N₁₇₂₂O₂₀₁₀S₄₂

carfilzomibum

carfilzomib

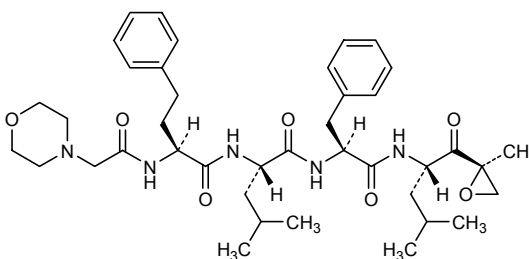
{(2*S*)-2-[(morpholin-4-yl)acetamido]-4-phenylbutanoyl}-L-leucyl-*N*'-[(2*S*)-1-[(2*R*)-2-méthyloxiran-2-yl]-4-méthyl-1-oxopentan-2-yl]-L-phénylalaninamide

carfilzomib

{(2*S*)-2-[(morpholin-4-yl)acétamido]-4-phénylbutanoyl}-L-leucyl-*N*'-[(2*S*)-1-[(2*R*)-2-méthyloxiran-2-yl]-4-méthyl-1-oxopentan-2-yl]-L-phénylalaninamide

carfilzomib

{(2*S*)-2-[(morfolin-4-il)acetamido]-4-fenilbutanoil}-L-leucil-*N*'-[(2*S*)-1-[(2*R*)-2-metiloxiran-2-il]-4-metil-1-oxopentan-2-il]-L-fenilalaninamida

C₄₀H₅₇N₅O₇**ceftarolinum fosamilum**

ceftaroline fosamil

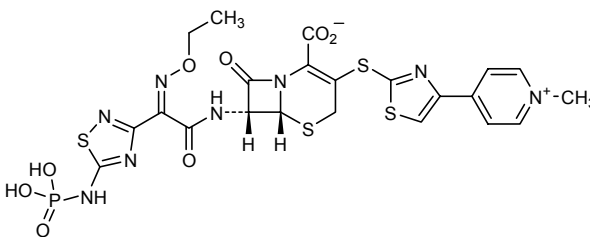
(6*R*,7*R*)-7-[(2*Z*)-2-(ethoxyimino)-2-[5-(phosphonoamino)-1,2,4-thiadiazol-3-yl]acetamido]-3-[[4-(1-méthylpyridin-1-ium-4-yl)-1,3-thiazol-2-yl]sulfanyl]-8-oxo-5-thia-1-azabicyclo[4.2.0]oct-2-ène-2-carboxylate

céftaroline fosamil

(6*R*,7*R*)-7-[(2*Z*)-2-(éthoxyimino)-2-[5-(phosphonoamino)-1,2,4-thiadiazol-3-yl]acétamido]-3-[[4-(1-méthylpyridin-1-ium-4-yl)-1,3-thiazol-2-yl]sulfanyl]-8-oxo-5-thia-1-azabicyclo[4.2.0]oct-2-ène-2-carboxylate

ceftarolina fosamilo

(6*R*,7*R*)-7-[(2*Z*)-2-(etoxiimino)-2-[5-(fosfonoamino)-1,2,4-tiadiazol-3-il]acetamido]-3-[[4-(1-metilpiridin-1-io-4-il)-1,3-tiazol-2-il]sulfanil]-8-oxo-5-tia-1-azabicyclo[4.2.0]oct-2-eno-2-carboxilate

C₂₂H₂₁N₈O₈PS₄

cenersenum
cenersen

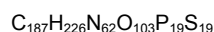
antisense oligonucleotide inhibitor of p53 expression
 2'-deoxy-*P*-thiocytidylyl-(3'→5')-2'-deoxy-*P*-thiocytidylyl-(3'→5')-2'-
 deoxy-*P*-thiocytidylyl-(3'→5')-*P*-thiothymidylyl-(3'→5')-2'-deoxy-*P*-
 thioguanilyl-(3'→5')-2'-deoxy-*P*-thiocytidylyl-(3'→5')-*P*-thiothymidylyl-
 (3'→5')-2'-deoxy-*P*-thiocytidylyl-(3'→5')-2'-deoxy-*P*-thiocytidylyl-
 (3'→5')-2'-deoxy-*P*-thiocytidylyl-(3'→5')-2'-deoxy-*P*-thiocytidylyl-
 (3'→5')-2'-deoxy-*P*-thiocytidylyl-(3'→5')-2'-deoxy-*P*-thiocytidylyl-
 (3'→5')-*P*-thiothymidylyl-(3'→5')-2'-deoxy-*P*-thioguanilyl-(3'→5')-2'-
 deoxy-*P*-thioguanilyl-(3'→5')-2'-deoxy-*P*-thiocytidylyl-(3'→5')-*P*-
 thiothymidylyl-(3'→5')-2'-deoxy-*P*-thiocytidylyl-(3'→5')-2'-
 deoxycytidine

cénersen

oligonucléotide antisense inhibiteur de l'expression de p53
 2'-déoxy-*P*-thiocytidylyl-(3'→5')-2'-déoxy-*P*-thiocytidylyl-(3'→5')-2'-
 déoxy-*P*-thiocytidylyl-(3'→5')-*P*-thiothymidylyl-(3'→5')-2'-déoxy-*P*-
 thioguanilyl-(3'→5')-2'-déoxy-*P*-thiocytidylyl-(3'→5')-*P*-thiothymidylyl-
 (3'→5')-2'-déoxy-*P*-thiocytidylyl-(3'→5')-2'-déoxy-*P*-thiocytidylyl-
 (3'→5')-2'-déoxy-*P*-thiocytidylyl-(3'→5')-2'-déoxy-*P*-thiocytidylyl-
 (3'→5')-2'-déoxy-*P*-thiocytidylyl-(3'→5')-2'-déoxy-*P*-thiocytidylyl-
 (3'→5')-*P*-thiothymidylyl-(3'→5')-2'-déoxy-*P*-thioguanilyl-(3'→5')-2'-
 déoxy-*P*-thioguanilyl-(3'→5')-2'-déoxy-*P*-thiocytidylyl-(3'→5')-*P*-
 thiothymidylyl-(3'→5')-2'-déoxy-*P*-thiocytidylyl-(3'→5')-2'-
 déoxycytidine

cenersén

oligonucleótido antisentido inhibidor de la expresión de p53
 2'-desoxi-*P*-tiocitidilil-(3'→5')-2'-desoxi-*P*-tiocitidilil-(3'→5')-2'-desoxi-
P-tiocitidilil-(3'→5')-*P*-tiotimidilil-(3'→5')-2'-desoxi-*P*-tioguanilil-
 (3'→5')-2'-desoxi-*P*-tiocitidilil-(3'→5')-*P*-tiotimidilil-(3'→5')-2'-desoxi-*P*-
 tiocitidilil-(3'→5')-2'-desoxi-*P*-tiocitidilil-(3'→5')-2'-desoxi-*P*-tiocitidilil-
 (3'→5')-2'-desoxi-*P*-tiocitidilil-(3'→5')-2'-desoxi-*P*-tiocitidilil-(3'→5')-2'-
 desoxi-*P*-tiocitidilil-(3'→5')-*P*-tiotimidilil-(3'→5')-2'-desoxi-*P*-tioguanilil-
 (3'→5')-2'-desoxi-*P*-tioguanilil-(3'→5')-2'-desoxi-*P*-tiocitidilil-(3'→5')-
P-tiotimidilil-(3'→5')-2'-desoxi-*P*-tiocitidilil-(3'→5')-2'-desoxicitidina

**cholini fenofibratum**
choline fenofibrate

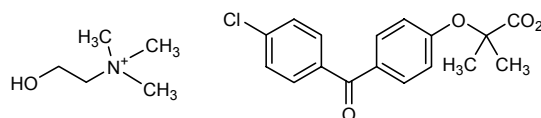
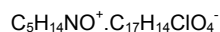
2-hydroxy-*N,N,N*-trimethylethanaminium 2-[4-(4-chlorobenzoyl)=
 phenoxy]-2-methylpropanoate

fénofibrate de choline

2-[4-(4-chlorobenzoyl)phénoxy]-2-méthylpropanoate de 2-hydroxy-
N,N,N-triméthyléthanaminium

fenofibrato de colina

2-[4-(4-clorobenzoil)fenoxi]-2-metilpropanoato de 2-hidroxi-
N,N,N-trimetiletanaminio



cinaciguatum

cinaciguat

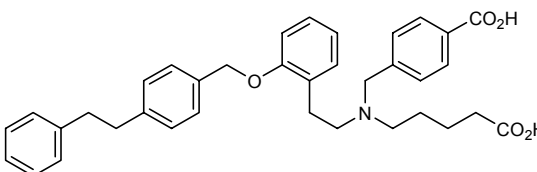
4-((4-carboxybutyl)[2-(2-[[4-(2-phenylethyl)phenyl]methoxy]=phenyl)ethyl]amino)methyl)benzoic acid

cinaciguat

acide 4-((4-carboxybutyl)[2-(2-[[4-(2-phényléthyl)phényl]méthoxy]=phényl)éthyl]amino)méthyl)benzoïque

cinaciguat

ácido 4-((4-carboxibutil)[2-(2-[[4-(2-feniletíl)feníl]metoxi]feníl)=etil]amino)metil)benzoico

C₃₆H₃₉NO₅**contusugenum ladenovecum***

contusugene ladenovec

(Recombinant) replication restricted adenovirus (type 5) vector, E1 deleted, partial E3 deletion, containing/expressing a wild type p53 gene driven by a cytomegalovirus promoter

contusugène ladénovec

Vecteur adénovirus (type 5) recombinant défectif, délété de E1 et partiellement de E3, contenant le gène p53 sauvage sous le contrôle du promoteur cytomégalovirus

contusugén ladenovec

Vector adenovirus (tipo 5) recombinante defectivo, con deleción de E1 y parcialmente de E3, que contiene el gen p53 salvaje controlado por el promotor de cytomegalovirus

dapagliflozinum

dapagliflozin

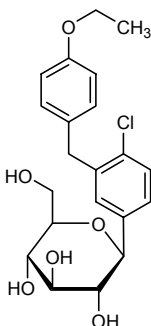
(1S)-1,5-anhydro-1-C-(4-chloro-3-[[4-ethoxyphenyl]methyl]phenyl)-D-glucitol

dapagliflozine

(1S)-1,5-anhydro-1-C-(4-chloro-3-[[4-éhoxyphényl]méthyl]phényl)-D-glucitol

dapagliflozina

(1S)-1,5-anhidro-1-C-(4-cloro-3-[[4-etoxifeníl]metil]feníl)-D-glucitol

C₂₁H₂₅ClO₆

delimotecanum

delimotecan

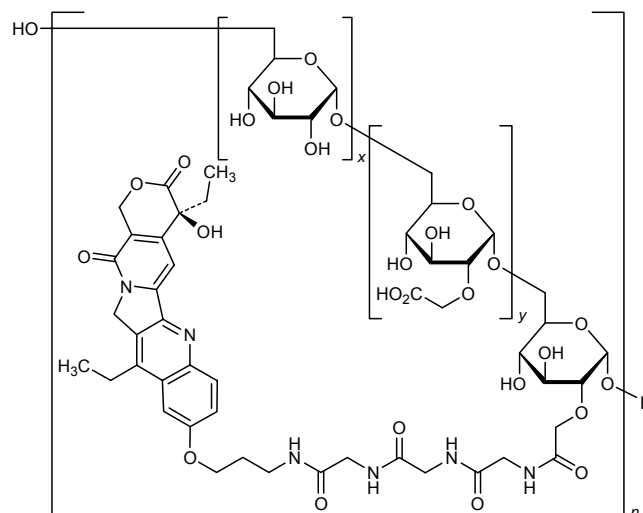
poly[[2-O-(carboxymethyl)- α -D-glucopyranosyl-(1 \rightarrow 6)]-co-[2-O-(15-
 {{{(4S)-4,11-diethyl-4-hydroxy-3,14-dioxo-3,4,12,14-tetrahydro-
 1H-pyrano[3',4':6,7]indolizino[1,2-b]quinolin-9-yl]oxy}-
 2,5,8,11-tetraoxo-3,6,9,12-tetraazapentadecyl)- α -D-glucopyranosyl-
 (1 \rightarrow 6)]-co-[α -D-glucopyranosyl-(1 \rightarrow 6)]]

déliotécán

poly[[2-O-(carboxyméthyl)- α -D-glucopyranosyl-(1 \rightarrow 6)]-co-[2-O-(15-
 {{{(4S)-4,11-diéthyl-4-hydroxy-3,14-dioxo-3,4,12,14-tétrahydro-
 1H-pyrano[3',4':6,7]indolizino[1,2-b]quinoléin-9-yl]oxy}-
 2,5,8,11-tétraoxo-3,6,9,12-tétrazapentadécyl)- α -D-glucopyranosyl-
 (1 \rightarrow 6)]-co-[α -D-glucopyranosyl-(1 \rightarrow 6)]]

delimotecán

poli[[2-O-(carboximetil)- α -D-glucopiranosil-(1 \rightarrow 6)]-co-[2-O-(15-
 {{{(4S)-4,11-dietyl-4-hidroxi-3,14-dioxo-3,4,12,14-tetrahidro-
 1H-pirano[3',4':6,7]indolizino[1,2-b]quinolin-9-il]oxi}-
 2,5,8,11-tetraoxo-3,6,9,12-tetraazapentadecil)- α -D-glucopiranosil-
 (1 \rightarrow 6)]-co-[α -D-glucopiranosil-(1 \rightarrow 6)]]

$$[C_{39}H_{46}N_6O_{14}[C_6H_{10}O_5]_x[C_8H_{12}O_7]_y]_n$$
**dovitinibum**

dovitinib

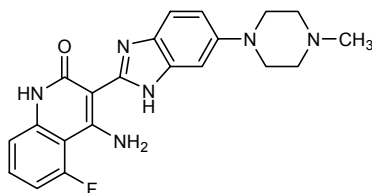
4-amino-5-fluoro-3-[6-(4-methylpiperazin-1-yl)-1H-benzimidazole-
 2-yl]quinolin-2(1H)-one

dovitinib

4-amino-5-fluoro-3-[6-(4-méthylpipérazin-1-yl)-1H-benzimidazol-
 2-yl]quinoléin-2(1H)-one

dovitinib

4-amino-5-fluoro-3-[6-(4-metilpiperazin-1-il)-1H-benzoimidazol-
 2-il]quinolin-2(1H)-ona

$C_{21}H_{21}FN_6O$ **eldecalcitolum**

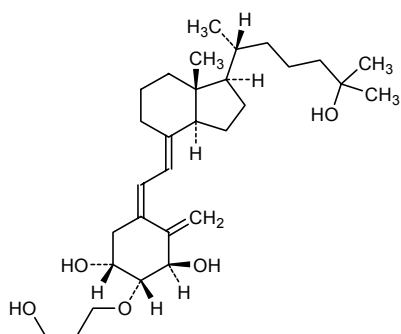
eldecalcitol

(5*Z*,7*E*)-2β-(3-hydroxypropoxy)-9,10-secocholesta-5,7,10(19)-triene-1α,3β,25-triol

eldécalcitol

(5*Z*,7*E*)-2β-(3-hydroxypropoxy)-9,10-sécocholesta-5,7,10(19)-triène-1α,3β,25-triol

eldecalcitol

(5*Z*,7*E*)-2β-(3-hidroxipropoxi)-9,10-secocolesta-5,7,10(19)-trieno-1α,3β,25-triol $C_{30}H_{50}O_5$ **elvitegravirum**

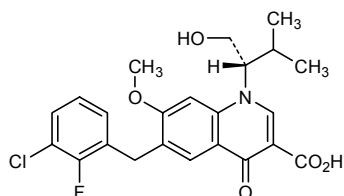
elvitegravir

6-[(3-chloro-2-fluorophenyl)methyl]-1-[(2*S*)-1-hydroxy-3-methylbutan-2-yl]-7-methoxy-4-oxo-1,4-dihydroquinoline-3-carboxylic acid

elvitégravir

acide 6-[(3-chloro-2-fluorophényl)méthyl]-1-[(2*S*)-1-hydroxy-3-méthylbutan-2-yl]-7-méthoxy-4-oxo-1,4-dihydroquinoline-3-carboxylique

elvitegravir

ácido 6-[(3-cloro-2-fluorofenil)metil]-1-[(2*S*)-1-hidroxi-3-metilbutan-2-il]-7-metoxi-4-oxo-1,4-dihidroquinolina-3-carboxílico $C_{23}H_{23}ClFNO_5$ 

epetirimodum

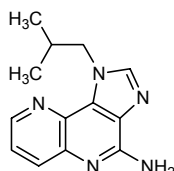
epetirimod

1-(2-methylpropyl)-1*H*-imidazo[4,5-*c*][1,5]naphthyridin-4-amine

épétirimod

1-(2-méthylpropyl)-1*H*-imidazo[4,5-*c*][1,5]naphthyridin-4-amine

epetirimod

1-(2-metilpropil)-1*H*-imidazo[4,5-*c*][1,5]naftiridin-4-aminaC₁₃H₁₅N₅**epoetinum kappa**

epoetin kappa

1-165-erythropoietin (human JR-013), glycoform κ

époétine kappa

érythropoïétine (humaine JR-013)-(1-165), glycoforme κ

epoetina kappa

1-165-eritropoyetina (humana JR-013), glicoforma κ

C₈₀₉H₁₃₀₁N₂₂₉O₂₄₀S₅**eribulinum**

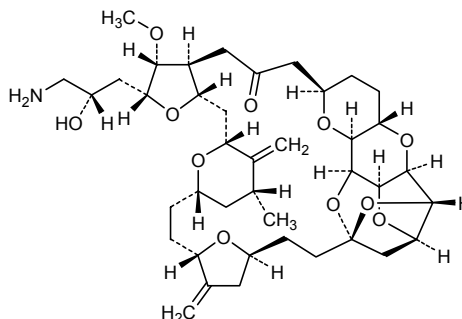
eribulin

(2*R*,3*R*,3*a**S*,7*R*,8*a**S*,9*S*,10*a**R*,11*S*,12*R*,13*a**R*,13*b**S*,15*S*,18*S*,21*S*,24*S*,26*R*,28*R*,29*a**S*)-2-[(2*S*)-3-amino-2-hydroxypropyl]-3-methoxy-26-methyl-20,27-dimethylidenehexacosahydro-11,15:18,21:24,28-triepoxy-7,9-ethano-12,15-methano-9*H*,15*H*-furo[3,2-*ij*]furo[2',3':5,6]pyrano[4,3-*b*][1,4]dioxacyclopentacosin-5(4*H*)-one

eribuline

(2*R*,3*R*,3*a**S*,7*R*,8*a**S*,9*S*,10*a**R*,11*S*,12*R*,13*a**R*,13*b**S*,15*S*,18*S*,21*S*,24*S*,26*R*,28*R*,29*a**S*)-2-[(2*S*)-3-amino-2-hydroxypropyl]-3-méthoxy-26-méthyl-20,27-diméthylidènehexacosahydro-11,15:18,21:24,28-triépoxy-7,9-éthano-12,15-méthano-9*H*,15*H*-furo[3,2-*ij*]furo[2',3':5,6]pyrano[4,3-*b*][1,4]dioxacyclopentacosin-5(4*H*)-one

eribulina

(2*R*,3*R*,3*a**S*,7*R*,8*a**S*,9*S*,10*a**R*,11*S*,12*R*,13*a**R*,13*b**S*,15*S*,18*S*,21*S*,24*S*,26*R*,28*R*,29*a**S*)-2-[(2*S*)-3-amino-2-hidroxipropil]-26-metil-20,27-dimetilideno-3-metoxihexacosahidro-11,15:18,21:24,28-triepoxi-7,9-etano-12,15-metano-9*H*,15*H*-furo[3,2-*ij*]furo=[2',3':5,6]pirano[4,3-*b*][1,4]dioxaciclopentacosin-5(4*H*)-onaC₄₀H₅₉NO₁₁

faxeladolum

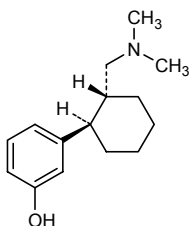
faxeladol

3-[(1*R*,2*R*)-2-(dimethylaminomethyl)cyclohexyl]phenol

faxéladol

3-[(1*R*,2*R*)-2-[(diméthylamino)méthyl]cyclohexyl]phénol

faxeladol

3-[(1*R*,2*R*)-2-(dimetilaminometil)ciclohexil]fenolC₁₅H₂₃NO**ferricum carboxymaltosum**

ferric carboxymaltose

poly[D-glucopyranosyl(1→4)]-D-gluconic acid complex of hydrated iron(III) oxide

carboxymaltose ferrique

complexe d'oxide de fer(III) et d'acide poly[D-glucopyranosyl(1→4)]-D-gluconique hydraté

carboximaltosa férrica

ácido poli[D-glucopiranosil(1→4)]-D-glucónico complejo de óxido de hierro(III) hidratado

FeIII_w[(C₆H₁₀O₅)_aC₆H₁₁O₇]_x(OH)_yO_z.nH₂O**flovagatranum**

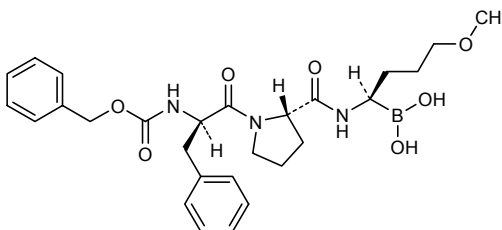
flovagatran

(1*R*)-1-*N*-[(benzyloxy)carbonyl]-D-phenylalanyl-L-prolinamido)=butylboronic acid

flovagatran

acide (1*R*)-1-*N*-[(benzyloxy)carbonyl]-D-phénylalanyl-L-prolyl)=amino)butylboronique

flovagatrán

ácido (1*R*)-1-*N*-[(benciloxi)carbonil]-D-fenilalanil-L-prolinamido)=butilborónicoC₂₇H₃₆BN₃O₇

gantenerumabum* gantenerumab	immunoglobulin G1, anti-(human beta-amyloid peptides Aβ42 and Aβ40) human monoclonal antibody; gamma1 heavy chain (<i>Homo sapiens</i> VH-IGHG1) (229-215')-disulfide with kappa light chain (<i>Homo sapiens</i> V-KAPPA-IGKC); (235-235":238-238")-bisdisulfide dimer
ganténérumab	immunoglobuline G1, anti-(peptides beta-amyloides Aβ42 et Aβ40 humains) anticorps monoclonal humain; chaîne lourde gamma1 (<i>Homo sapiens</i> VH-IGHG1) (229-215')-disulfure avec la chaîne légère kappa (<i>Homo sapiens</i> V-KAPPA-IGKC); dimère (235-235":238-238")-bisdisulfure
gantenerumab	inmunoglobulina G1, anticuerpo monoclonal humano anti-(péptidos beta-amiloides Aβ42 et Aβ40 humanos); cadena pesada gamma1 (<i>Homo sapiens</i> VH-IGHG1) (229-215')-disulfuro con la cadena ligera kappa (<i>Homo sapiens</i> V-KAPPA-IGKC); dimero (235-235":238-238")-bisdisulfuro

γ1- heavy chain / Chaîne lourde γ1 / Cadena pesada γ1

```

QVELVESGGG LVQPGGSLRL SCAASGFTFS SYAMSWVRQA PGKGLEWVSA 50
INASGTRTYY ADSVKGRFTI SRDNSKNTLY LQMNSLRAED TAVYYCARGK 100
GNTHKPYGYV RYFDVWGQGT LVTVSSASTK GPSVFPLAPS SKSTSGGTAA 150
LGCLVKDYFP EPVTVSWNSG ALTSGVHTFP AVLQSSGLYS LSSVVTVPSS 200
SLGTQTYICN VNHKPSNTKV DKKVEPKSCD KHTCTPPCPA PELLGGPSVF 250
LFPPKPKDTL MISRTPEVTC VVVDVSHEDP EVKFNWYVDG VEVHNAKTKP 300
REEQYNSTYR VVSVLTVLHQ DWLNGKEYKC KVSNKALPAP IEKTISKAKG 350
QPREPQVYTL PPSRDELTKN QVSLTCLVKG FYPSDIAVEW ESNQGPENNY 400
KTTPPVLDSD GSFFLYSKLT VDKSRWQQGN VFSCSVMHEA LHNHYTQKSL 450
SLSPGK 456

```

κ-light chain / Chaîne légère κ / Cadena ligera κ

```

DIVLTQSPAT LSLSPGERAT LSCRASQSVS SSYLAWYQOK PGQAPRLLIY 50
GASSRATGVP ARFSGSGSGT DFTLTISSLE PEDFATYYCL QIYNMPTIFG 100
QGTKVEIKRT VAAPSFIIP PSDEQLKSGT ASVVCLLNMF YPREAKVQWK 150
VDNALQSGNS QESVTEQDSK DSTYLSSTL TLSKADYEKH KVYACEVTHQ 200
GLSSPVTKSF NRGEC 215

```

The position of cysteine (C) residues that form disulphide bridges and asparagine residues that are *N*-glycosylated are in bold.

golotimodum
golotimod

D-γ-glutamyl-L-tryptophan

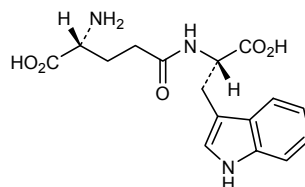
golotimod

D-γ-glutamyl-L-tryptophane

golotimod

D-γ-glutamil-L-triptófano

C₁₆H₁₉N₃O₅



ibalizumabum*

ibalizumab

immunoglobulin G4, anti-(human CD4) humanized monoclonal antibody Hu5A8 (TNX-355); gamma4 heavy chain [humanized VH (*Homo sapiens* FR/*Mus musculus* CDR [8.8.15] from clone Mu5A8)-*Homo sapiens* IGHG4*01] (136-219')-disulfide with kappa light chain [humanized V-KAPPA (*Homo sapiens* FR/*Mus musculus* CDR [12.3.8] from clone Mu5A8)-*Homo sapiens* IGKC*01]; (228-228':231-231'')-bisdisulfide dimer

ibalizumab

immunoglobuline G4, anti-(CD4 humain) anticorps monoclonal humanisé Hu5A8 (TNX-355); chaîne lourde gamma4 [VH humanisé (*Homo sapiens* FR/*Mus musculus* CDR [8.8.15] du clone 5A8)-*Homo sapiens* IGHG4] (136-219')-disulfure avec la chaîne légère kappa [V-KAPPA humanisé (*Homo sapiens* FR/*Mus musculus* CDR [12.3.8] du clone Mu5A8)-*Homo sapiens* IGKC*01]; dimère (228-228'':231-231'')-bisdisulfure

ibalizumab

immunoglobulina G4, anti-(CD4 humano) anticuerpo monoclonal humanizado Hu5A8 (TNX-355); cadena pesada gamma4 [VH humanizado (*Homo sapiens* FR/*Mus musculus* CDR [8.8.15] del clon 5A8)-*Homo sapiens* IGHG4] (136-219')-disulfuro con la cadena ligera kappa [V-KAPPA humanizada (*Homo sapiens* FR/*Mus musculus* CDR [12.3.8] del clon Mu5A8)-*Homo sapiens* IGKC*01]; dímero (228-228'':231-231'')-bisdisulfuro

Ig γ 4-heavy chain / Chaîne lourde Ig γ 4 / Cadena pesada Ig γ 4

QVQLQQSGPE	VVKFGASVKM	SCKASGYTFT	SYVIHWVRQK	PQGGLDWIGY	50
INPYNDGTDY	DEKFKGKATL	TSDTSTSTAY	MELSSLRSED	TAVYYCAREK	100
DNYATGAWFA	YWGQGLTVTV	SSASTKGPSV	FPLAPCSRST	SESTAALGCL	150
VKDYFPEPVT	VSWNSGALTS	GVHTFPAVLQ	SSGLYSLSSV	VTVPSSSLGT	200
KTYYTCNVDPK	PSNTKVDKRV	ESKYGPPCPS	CPAPEFLGGP	SVFLFPKPK	250
DTLMLSRTPK	VTCTVVDVSO	EDPEVQFNWY	VDGVEVHNAK	TKPREEQFNS	300
TYRVVSVLTV	LHQDNLNGKE	YKCKVSNKGL	PSSIEKTIISK	AKGQPREPOV	350
YTLPPSQEEM	TKNQVSLTCL	VKGFYPSDIA	VEWESNGQPE	NNYKTTTPPVL	400
DSDGSFFLYS	RLTVDKSRWQ	EGNVFSCSVM	HEALHNHYTQ	KSLSLSLGK	449

Ig κ -light chain / Chaîne légère Ig κ / Cadena ligera Ig κ

DIVMTQSPDS	LAVSLGERVT	MNCKSSQSL	YSTNQKNYLA	WYQKPGQSP	50
KLLIYWASTR	ESGVDRFSG	SGSGTDFTLT	ISSVQAEDVA	VYYCQYYSY	100
RTFGGGTKLE	IKRTVAAPSV	FIFPPSDEQL	KSGTASVVCL	LNNFYFREAK	150
VQWKVDNALQ	SGNSQESVTE	QDSKDYSTSL	SSTLTLSKAD	YEKHKVYACE	200
VTHQGLSSPV	TKSFNRGEC				219

idrabirotaparinum natricum

idrabirotaparinum sodium

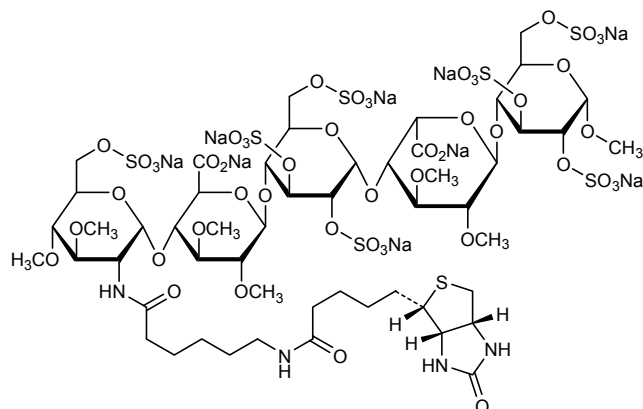
nonasodium methyl (2-deoxy-3,4-di-O-methyl-2-{6-[5-(2-oxohexahydro-1H-thieno[3,4-d]imidazol-4-yl)pentanamido]=hexanamido}-6-O-sulfo- α -D-glucopyranosyl)-(1 \rightarrow 4)-(2,3-di-O-methyl- β -D-glucopyranosyluronate)-(1 \rightarrow 4)-(2,3,6-tri-O-sulfo- α -D-glucopyranoside)-(1 \rightarrow 4)-(2,3-di-O-methyl- α -L-idopyranosyluronate)-(1 \rightarrow 4)-2,3,6-tri-O-sulfo- α -D-glucopyranoside

idrabirotaparinum sodique

2-déoxy-3,4-di-O-méthyl-2-[[6-({5-[(3aS,4S,6aR)-2-oxohexahydro-1H-thiéno[3,4-d]imidazol-4-yl]pentanoyl}amino)hexanoyl]amino]-6-O-sulfo- α -D-glucopyranosyl-(1 \rightarrow 4)-2,3-di-O-méthyl- β -D-glucopyranuronosyl-(1 \rightarrow 4)-2,3,6-tri-O-sulfo- α -D-glucopyranosyl-(1 \rightarrow 4)-2,3-di-O-méthyl- α -L-idopyranuronosyl-(1 \rightarrow 4)-2,3,6-tri-O-sulfo- α -D-glucopyranoside de méthyle nonasodique

idrabirotaparinux sódico

2-desoxy-3,4-di-*O*-metil-2-[[6-({5-[(3a*S*,4*S*,6a*R*)-2-oxohexahidro-1*H*-tieno[3,4-*d*]imidazol-4-il]pentanoil)amino)hexanoil]amino]-6-*O*-sulfo- α -D-glucopiranosil-(1 \rightarrow 4)-2,3-di-*O*-metil- β -D-glucopiranuronosil-(1 \rightarrow 4)-2,3,6-tri-*O*-sulfo- α -D-glucopiranosil-(1 \rightarrow 4)-2,3-di-*O*-metil- α -L-idopiranuronosil-(1 \rightarrow 4)-2,3,6-tri-*O*-sulfo- α -D-glucopiranosido de metilo y nonasodico

C₅₃H₇₉N₄Na₉O₅₁S₈**laropiprantum**

laropiprant

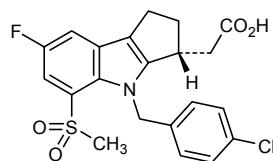
[(3*R*)-4-[(4-chlorophenyl)methyl]-7-fluoro-5-(methanesulfonyl)-1,2,3,4-tetrahydrocyclopenta[*b*]indol-3-yl]acetic acid

laropiprant

acide [(3*R*)-4-[(4-chlorophényl)méthyl]-7-fluoro-5-(méthanesulfonyl)-1,2,3,4-tétrahydrocyclopenta[*b*]indol-3-yl]acétique

laropiprant

ácido [(3*R*)-4-[(4-clorofenil)metil]-7-fluoro-5-(metanosulfonyl)-1,2,3,4-tetrahidrociclopenta[*b*]indol-3-il]acético

C₂₁H₁₉ClFNO₄S**levamlodipinum**

levamlodipine

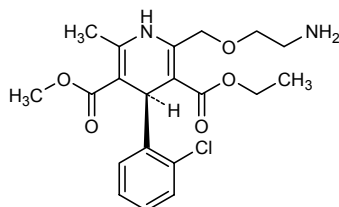
3-ethyl 5-methyl (4*S*)-2-[(2-aminoethoxy)methyl]-4-(2-chlorophenyl)-6-methyl-1,4-dihydropyridine-3,5-dicarboxylate

lévamlodipine

(4*S*)-2-[(2-aminoéthoxy)méthyl]-4-(2-chlorophényl)-6-méthyl-1,4-dihydropyridine-3,5-dicarboxylate de 3-éthyle et de 5-méthyle

levamlodipino

(4*S*)-2-[(2-aminoetoxi)metil]-4-(2-clorofenil)-6-metil-1,4-dihidropiridina-3,5-dicarboxilato de 3-etilo y 5-metilo

$C_{20}H_{25}ClN_2O_5$ **lonaprisanum**

lonaprisan

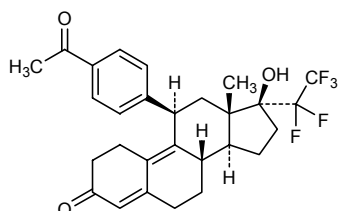
11β-(4-acetylphenyl)-20,20,21,21,21-pentafluoro-17-hydroxy-19-nor-17α-pregna-5,9-dien-3-one

lonaprisan

11β-(4-acétylphényl)-20,20,21,21,21-pentafluoro-17-hydroxy-19-nor-17α-prégna-5,9-dién-3-one

lonaprisán

11β-(4-acetilfenil)-20,20,21,21,21-pentafluoro-17-hidroxi-19-nor-17α-pregna-5,9-dien-3-ona

 $C_{28}H_{29}F_5O_3$ **metenkefalinum**

metenkefalin

L-tyrosylglycylglycyl-L-phenylalanyl-L-methionine
β-endorphin human-(1-5)-peptide

métenkefaline

L-tyrosylglycylglycyl-L-phénylalanyl-L-méthionine
β-endorphine humaine-(1-5)-peptide

metencefalina

L-tirosilglicilglicil-L-fenilalanil-L-metionina
β-endorfina humana-(1-5)-peptido $C_{27}H_{35}N_5O_7S$

H-L-Tyr-Gly-Gly-L-Phe-L-Met-OH

milveterolum

milveterol

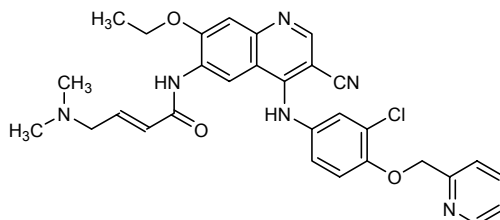
N-{2-hydroxy-5-[(1*R*)-1-hydroxy-2-[[2-(4-[(2*R*)-2-hydroxy-2-phenylethyl]amino)phenyl]ethyl]amino]ethyl]phenyl}formamide

milvétérol

N-{2-hydroxy-5-[(1*R*)-1-hydroxy-2-[[2-(4-[(2*R*)-2-hydroxy-2-phényléthyl]amino)phényl]éthyl]amino]éthyl]phényl}formamide

milveterol

N-{2-hidroxi-5-[(1*R*)-1-hidroxi-2-[[2-(4-[(2*R*)-2-hidroxi-2-feniletíl]amino)fenil]etil]amino]etil]fenil}formamida

$C_{30}H_{29}ClN_6O_3$ **perampanelum**

perampanel

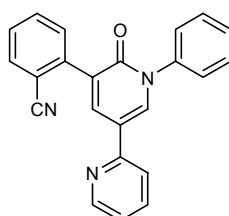
2-(6'-oxo-1'-phenyl-1',6'-dihydro[2,3'-bipyridin]-5'-yl)benzonitrile

pérampanel

2-(6'-oxo-1'-phenyl-1',6'-dihydro[2,3'-bipyridin]-5'-yl)benzonitrile

perampanel

2-(1'-fenil-6'-oxo-1',6'-dihidro[2,3'-bipiridin]-5'-il)benzonitrilo

 $C_{23}H_{15}N_3O$ **peretinoinum**

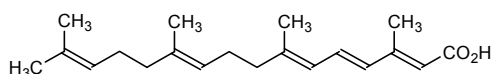
peretinoin

(2*E*,4*E*,6*E*,10*E*)-3,7,11,15-tetramethylhexadeca-2,4,6,10,14-pentaenoic acid

péretinoïne

acide (2*E*,4*E*,6*E*,10*E*)-3,7,11,15-tétraméthylhexadéca-2,4,6,10,14-penténoïque

peretinoína

ácido (2*E*,4*E*,6*E*,10*E*)-3,7,11,15-tetrametilhexadeca-2,4,6,10,14-pentaenoico $C_{20}H_{30}O_2$ **pexacerfontum**

pexacerfont

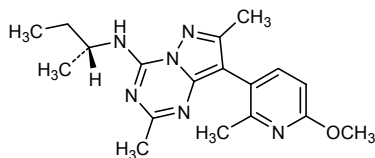
N-[(2*R*)-butan-2-yl]-8-(6-methoxy-2-methylpyridin-3-yl)-2,7-dimethylpyrazolo[1,5-*a*][1,3,5]triazin-4-amine

pexacerfont

N-[(2*R*)-butan-2-yl]-8-(6-méthoxy-2-méthylpyridin-3-yl)-2,7-diméthylpyrazolo[1,5-*a*][1,3,5]triazin-4-amine

pexacerfont

N-[(2*R*)-butan-2-il]-8-(6-metoxi-2-metilpiridin-3-il)-2,7-dimetilpirazolo[1,5-*a*][1,3,5]triazin-4-amina

$C_{18}H_{24}N_6O$ 

pimavanserinum
pimavanserin

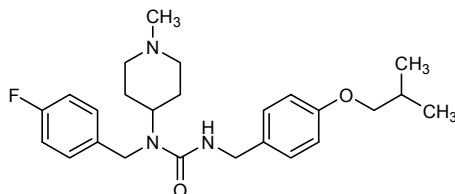
1-[(4-fluorophenyl)methyl]-1-(1-methylpiperidin-4-yl)-3-[[4-(2-methylpropoxy)phenyl]methyl]urea

pimavansérine

1-[(4-fluorophényl)méthyl]-1-(1-méthylpipéridin-4-yl)-3-[[4-(2-méthylpropoxy)phényl]méthyl]urée

pimavanserina

1-[(4-fluorofenil)metil]-1-(1-metilpiperidin-4-il)-3-[[4-(2-metilpropoxi)fenil]metil]urea

 $C_{25}H_{34}FN_3O_2$ 

piragliatinum
piragliatin

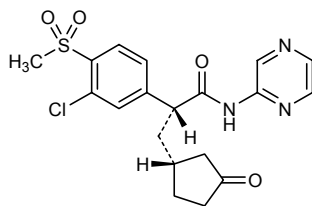
(2*R*)-2-[3-chloro-4-(methanesulfonyl)phenyl]-3-[(1*R*)-3-oxocyclopentyl]-*N*-(pyrazin-2-yl)propanamide

piragliatine

(2*R*)-2-[3-chloro-4-(méthanesulfonyl)phényl]-3-[(1*R*)-3-oxocyclopentyl]-*N*-(pyrazin-2-yl)propanamide

piragliatina

(2*R*)-2-[3-cloro-4-(metanosulfonyl)fenil]-3-[(1*R*)-3-oxociclopentil]-*N*-(pirazin-2-il)propanamida

 $C_{19}H_{20}ClN_3O_4S$ 

pomalidomidum
pomalidomide

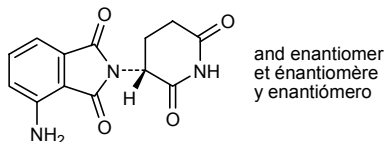
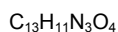
4-amino-2-[(3*RS*)-2,6-dioxopiperidin-3-yl]-2*H*-isoindole-1,3-dione

pomalidomide

4-amino-2-[(3*RS*)-2,6-dioxopipéridin-3-yl]-2*H*-isoindole-1,3-dione

pomalidomida

4-amino-2-[(3*RS*)-2,6-dioxopiperidin-3-il]-2*H*-isoindol-1,3-diona

**posaraprostum**

posaraprost

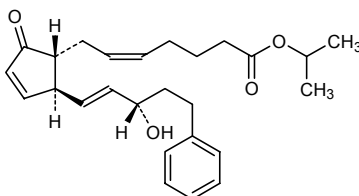
propan-2-yl (5Z)-7-[(1R,2S)-2-[(1E,3S)-3-hydroxy-5-phenylpent-1-en-1-yl]-5-oxocyclopent-3-en-1-yl]hept-5-enoate

posaraprost

(5Z)-7-[(1R,2S)-2-[(1E,3S)-3-hydroxy-5-phénylpent-1-én-1-yl]-5-oxocyclopent-3-én-1-yl]hept-5-énoate de propan-2-yle

posaraprost

(5Z)-7-[(1R,2S)-2-[(1E,3S)-3-hidroxi-5-fenilpent-1-en-1-il]-5-oxociclopent-3-en-1-ilo]-hept-5-enoato de propan-2-ilo

**pyronaridinum**

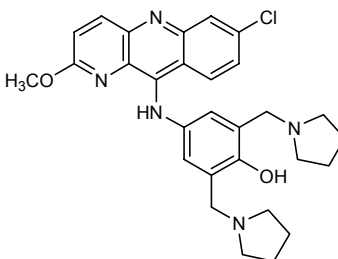
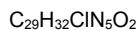
pyronaridine

4-[(7-chloro-2-methoxybenzo[*b*][1,5]naphthyridin-10-yl)amino]-2,6-bis[(pyrrolidin-1-yl)methyl]phenol

pyronaridine

4-[(7-chloro-2-méthoxybenzo[*b*][1,5]naphthyridin-10-yl)amino]-2,6-bis[(pyrrolidin-1-yl)méthyl]phénol

pironaridina

4-[(7-cloro-2-metoxibenzo[*b*][1,5]naftiridin-10-il)amino]-2,6-bis[(pirrolidin-1-il)metil]fenol

rabeximod

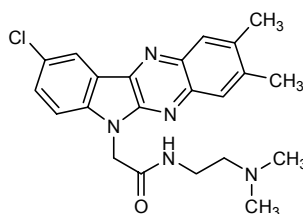
rabeximod

2-(9-chloro-2,3-dimethyl-6*H*-indolo[2,3-*b*]quinoxalin-6-yl)-*N*-[2-(dimethylamino)ethyl]acetamide

rabeximod

2-(9-chloro-2,3-diméthyl-6*H*-indolo[2,3-*b*]quinoxalin-6-yl)-*N*-[2-(diméthylamino)éthyl]acétamide

rabeximod

2-(9-cloro-2,3-dimetil-6*H*-indolo[2,3-*b*]quinoxalin-6-il)-*N*-[2-(dimetilamino)etil]acetamidaC₂₂H₂₄ClN₅O**raltegravirum**

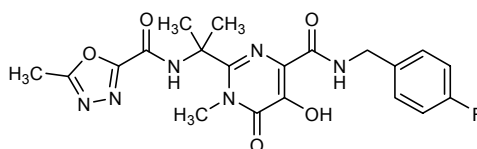
raltegravir

N-[(4-fluorophenyl)methyl]-5-hydroxy-1-methyl-2-[2-(5-methyl-1,3,4-oxadiazole-2-carboxamido)propan-2-yl]-6-oxo-1,6-dihydropyrimidine-4-carboxamide

raltégravir

N-[(4-fluorophényl)méthyl]-5-hydroxy-1-méthyl-2-[2-(5-méthyl-1,3,4-oxadiazole-2-carboxamido)propan-2-yl]-6-oxo-1,6-dihydropyrimidine-4-carboxamide

raltegravir

N-[(4-fluorofenil)metil]-5-hidroxi-1-metil-2-[2-(5-metil-1,3,4-oxadiazol-2-carboxamido)propan-2-il]-6-oxo-1,6-dihidropirimidina-4-carboxamidaC₂₀H₂₁FN₆O₅**regrelorum**

regrelor

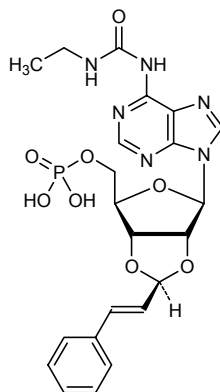
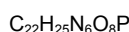
*N*⁶-(*N*-ethylcarbamoyl)-2',3'-*O*-[(1*S*,2*E*)-3-phenylprop-2-ene-1,1-diyl]-5'-adenylic acid

régrelor

acide *N*⁶-(*N*-éthylcarbamoyl)-2',3'-*O*-[(1*S*,2*E*)-3-phénylprop-2-ène-1,1-diyl]-5'-adénylique

regrelor

ácido *N*⁶-(*N*-etilcarbamoil)-2',3'-*O*-[(1*S*,2*E*)-3-fenilprop-2-eno-1,1-diilo]-5'-adenílico

**rolapitantum**

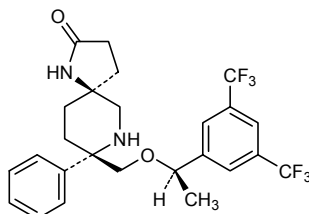
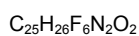
rolapitant

(5*S*,8*S*)-8-(((1*R*)-1-[3,5-bis(trifluorométhyl)phényl]éthoxy)méthyl)-8-phényl-1,7-diazaspiro[4.5]décan-2-one

rolapitant

(5*S*,8*S*)-8-(((1*R*)-1-[3,5-bis(trifluorométhyl)phényl]éthoxy)méthyl)-8-phényl-1,7-diazaspiro[4.5]décan-2-one

rolapitant

(5*S*,8*S*)-8-(((1*R*)-1-[3,5-bis(trifluorometil)fenil]etoxi)metil)-8-fenil-1,7-diazaspiro[4.5]decan-2-ona**romiplostimum***

romiplostim

L-methionyl[human immunoglobulin heavy constant gamma 1-(227 C-terminal residues)-peptide (Fc fragment)] fusion protein with 41 amino acids peptide, (7-7':10,10')-bisdisulfide dimer

romiplostim

(7-7':10,10')-bisdisulfure du dimère de la protéine de fusion entre le L-méthionyl[chaîne constante gamma 1 de l'immunoglobuline humaine-(227 aminoacides C-terminaux)-peptide (fragment Fc)] et un peptide de 41 aminoacides

romiplostim

(7-7':10,10')-bisdisulfuro del dímero de la proteína de fusión entre la L-metionil[cadena constante gamma 1 de la inmunoglobulina humana-(227 aminoácidos C-terminales)-péptido (fragmento Fc)] y un péptido de 41 aminoácidos

C₂₆₃₄H₄₀₈₆N₇₂₂O₇₉₀S₁₈

Monomer / Monomère / Monómero

MDKTHTCPPC	PAPELLGGPS	VFLFPPKPKD	TLMISRTPPEV	TCVVVDVSHE	50
DPEVKFNWYV	DGVEVHNAKT	KPREEQYNST	YRVVSVLTVL	HQDWLNGKEY	100
KCKVSNKALP	APIEKTISKA	KGQPREPQVY	TLPPSRDELDT	KNQVSLTCLV	150
KGFYPSDIAV	EWESNGQPEN	NYKTTTPVLD	SDGSFFLYSK	LTVDKSRWQQ	200
GNVFSCSVMH	EALHNHYTQK	SLSLSPGKGG	GGGIEGPTLR	QWLAARAGGG	250
GGGGIEGPT	LRQWLAARA				269

Disulfide bridges location / Position des ponts disulfure / Posiciones de los puentes disulfuro

7-7' 10-10' 42-102 42'-102' 148-206 148'-206'

ronacaleretum

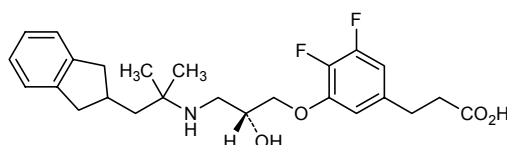
ronacaleret

3-{3-[(2*R*)-3-[[1-(2,3-dihydro-1*H*-inden-2-yl)-2-methylpropan-2-yl]amino]-2-hydroxypropoxy]-4,5-difluorophenyl}propanoic acid

ronacaléret

acide 3-{3-[(2*R*)-3-[[1-(2,3-dihydro-1*H*-indèn-2-yl)-2-méthylpropan-2-yl]amino]-2-hydroxypropoxy]-4,5-difluorophényl}propanoïque

ronacaleret

ácido3-{3-[(2*R*)-3-[[1-(2,3-dihidro-1*H*-inden-2-il)-2-metilpropan-2-il]amino]-2-hidroxiopropoxi]-4,5-difluorofenil}propanoicoC₂₅H₃₁F₂NO₄**ropidoxuridinum**

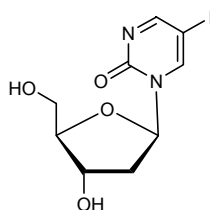
ropidoxuridine

1-(2-deoxy-β-D-*erythro*-pentofuranosyl)-5-iodopyrimidin-2(1*H*)-one

ropidoxuridine

1-(2-déoxy-β-D-*érythro*-pentofuranosyl)-5-iodopyrimidin-2(1*H*)-one

ropidoxuridina

1-(2-desoxi-β-D-*eritro*-pentofuranosil)-5-iodopirimidin-2(1*H*)-onaC₉H₁₁IN₂O₄**rosonabantum**

rosonabant

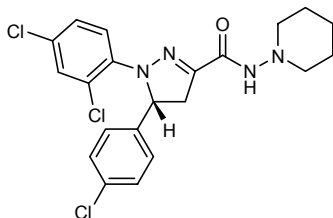
(5*RS*)-5-(4-chlorophenyl)-1-(2,4-dichlorophenyl)-*N*-(piperidin-1-yl)-4,5-dihydro-1*H*-pyrazole-3-carboxamide

rosonabant

(5*RS*)-5-(4-chlorophényl)-1-(2,4-dichlorophényl)-*N*-(pipéridin-1-yl)-4,5-dihydro-1*H*-pyrazole-3-carboxamide

rosonabant

(5*RS*)-5-(4-clorofenil)-1-(2,4-diclorofenil)-*N*-(piperidin-1-il)-4,5-dihidro-1*H*-pirazol-3-carboxamida

C₂₁H₂₁Cl₃N₄Oand enantiomer
et énantiomère
y enantiómero**salirasibum**

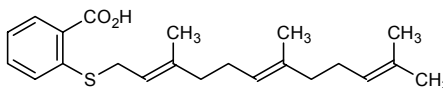
salirasib

2-[[[(2*E*,6*E*)-3,7,11-trimethyldodeca-2,6,10-trien-1-yl]sulfanyl]benzoic acid

salirasib

acide 2-[[[(2*E*,6*E*)-3,7,11-triméthylodéca-2,6,10-trién-1-yl]=sulfanyl]benzoïque

salirasib

ácido 2-[[[(2*E*,6*E*)-3,7,11-trimetildodeca-2,6,10-trien-1-il]=sulfanil]benzoicoC₂₂H₃₀O₂S**sergliflozinum etabonas**

sergliflozin etabonate

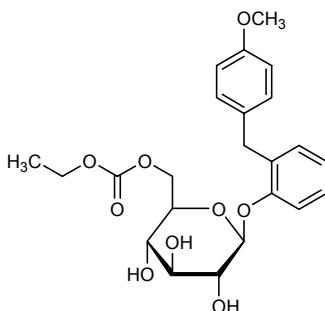
2-[(4-methoxyphenyl)methyl]phenyl 6-O-(ethoxycarbonyl)-β-D-glucopyranoside

étabonate de sergliflozine

6-O-(éthoxycarbonyl)-β-D-glucopyranoside de 2-[(4-méthoxyphényl)=méthyl]phényle

etabonato de sergliflozina

6-O-(etoxicarbonil)-β-D-glucopiranosido de 2-[(4-metoxifenil)=metil]fenilo

C₂₃H₂₈O₉

sitimagenum ceradenovecum*

sitimagene ceradenovec

(recombinant) replication restricted adenovirus (type 5) vector, E1 and E3 deleted, containing/expressing the *Herpes simplex virus* thymidine kinase (HSV-tk) gene

sitimagène céradénovec

Vecteur adénovirus (type 5 recombinant défectif, délété de E1 et E3, contenant le gène thymidine kinase du virus de l'herpès simplex (*Herpes simplex virus* - HSV-tk)

sitimagén ceradenovec

Vector adenovirus (tipo 5 recombinante defectivo, con deleción de E1 y E3, que contiene el gen timidina kinasa del virus del herpes simplex (*Herpes simplex virus* - HSV-tk)**sotrastaurinum**

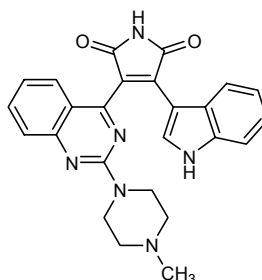
sotrastaurin

3-(1*H*-indol-3-yl)-4-[2-(4-methylpiperazin-1-yl)quinazolin-4-yl]-1*H*-pyrrole-2,5-dione

sotrastaurine

3-(1*H*-indol-3-yl)-4-[2-(4-méthylpipérazin-1-yl)quinazolin-4-yl]-1*H*-pyrrole-2,5-dione

sotrastaurina

3-(1*H*-indol-3-il)-4-[2-(4-metilpiperazin-1-il)quinazolin-4-il]-1*H*-pirrol-2,5-dionaC₂₅H₂₂N₆O₂**taranabantum**

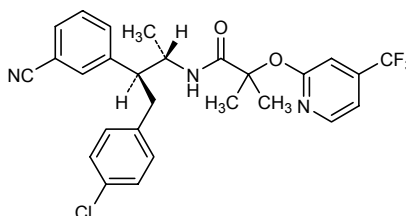
taranabant

N-[(2*S*,3*S*)-4-(4-chlorophenyl)-3-(3-cyanophenyl)butan-2-yl]-2-methyl-2-[[5-(trifluoromethyl)pyridin-2-yl]oxy]propanamide

taranabant

N-[(2*S*,3*S*)-4-(4-chlorophényl)-3-(3-cyanophényl)butan-2-yl]-2-méthyl-2-[[5-(trifluorométhyl)pyridin-2-yl]oxy]propanamide

taranabant

N-[(2*S*,3*S*)-4-(4-clorofenil)-3-(3-cianofenil)butan-2-il]-2-metil-2-[[5-(trifluorometil)piridin-2-il]oxi]propanamidaC₂₇H₂₅ClF₃N₃O₂

tarenflurbilum

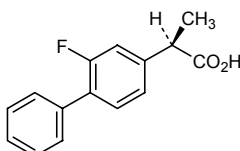
tarenflurbil

(2*R*)-2-(2-fluoro-[1,1'-biphenyl-4-yl])propanoic acid

tarenflurbil

acide (2*R*)-2-(2-fluoro-[1,1'-biphényl-4-yl])propanoïque

tarenflurbilo

ácido (2*R*)-2-(2-fluoro-[1,1'-bifenil-4-il])propanoicoC₁₅H₁₃FO₂**teplizumabum***

teplizumab

immunoglobulin G1, anti-[human CD3 epsilon (CD3E)] humanized monoclonal antibody MGA031 [hOKT3gamma1(Ala-Ala)]; gamma1 heavy chain 236L>A, 337L>A [humanized VH (*Homo sapiens* FR/*Mus musculus* CDR from clone OKT3)-*Homo sapiens*IGHG1*01, 117L>A (CH2 1.3), 118L>A (CH2 1.2)] (222-213')-disulfide with kappa light chain [humanized V-KAPPA (*Homo sapiens* FR/*Mus musculus* CDR from clone OKT3)-*Homo sapiens*IGKC*01]; (228-228": 231-231")-bisdisulfide dimer

téplizumab

immunoglobuline G1, anti-[CD3 epsilon humain (CD3E)] anticorps monoclonal humanisé MGA031 [hOKT3gamma1(Ala-Ala)]; chaîne lourde gamma1 [VH humanisé (*Homo sapiens* FR/*Mus musculus* CDR du clone OKT3)-*Homo sapiens*IGHG1*01, 117L >A (CH2 1.3), 118L>A (CH2 1.2)] (222-213')-disulfure avec la chaîne légère kappa [V-KAPPA humanisé (*Homo sapiens* FR/*Mus musculus* CDR du clone OKT3)-*Homo sapiens*IGKC*01]; dimère (228-228": 231-231")-bisdisulfure

teplizumab

inmunoglobulina G1, anti-[CD3 epsilon humano (CD3E)] anticuerpo monoclonal humanizado MGA031 [hOKT3gamma1(Ala-Ala)]; cadena pesada gamma1 [VH humanizada (*Homo sapiens* FR/*Mus musculus* CDR del clon OKT3)-*Homo sapiens*IGHG1*01, 117L >A (CH2 1.3), 118L>A (CH2 1.2)] (222-213')-disulfuro con la cadena ligera kappa [V-KAPPA humanizada (*Homo sapiens* FR/*Mus musculus* CDR del clon OKT3)-*Homo sapiens*IGKC*01]; dímero (228-228": 231-231")-bisdisulfuro

C₆₄₆₂H₉₉₃₈N₁₇₃₈O₂₀₂₂S₄₆

Heavy chain / Chaîne lourde / Cadena pesada

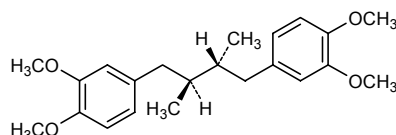
QVQLVQSGGG	VVQPGRSLRL	SCKASGYTFT	RYTMHWVRQA	PGKGLEWIGY	50
INPSRGYTNV	NQKVKDRFTI	SRDNSKNTAF	LQMDSLRPED	TGVVFCARYY	100
DDHYCLDYWG	QGTPTVTSSA	STKGPSVFPL	APSSKSTSGG	TAALGCLVKD	150
YFPEPVTVSW	NSGALTSGVH	TTPAVLQSSG	LYSLSSVVTV	PSSSLGTQTY	200
ICNVNHKPSN	TKVDKKVEPK	SCDKTHTCPP	CPAPEAAGGP	SVPLFPPKPK	250
DTLMSRTEPE	VTCVVVDVSH	EDPEVKFNWY	VDGVEVHNAK	TKPREEQYNS	300
TYRVVSVLTV	LHQDVLNGKE	YKCKVSNKAL	PAPIEKTISK	AKGQPREPQV	350
YTLPPSRDEL	TKNQVSLTCL	VKGFYPSDIA	VEWESNGQPE	NNYKTTPPVV	400
DSDGSEFFLYS	KLTVDKSRWQ	QGNVFSCSVN	HEALHNYHQ	KSLSLSPGK	449

Light chain / Chaîne légère / Cadena ligera

DIQMTQSPSS	LSASVGRVTV	ITCSASSSVS	YMNWYQQTPG	KAPKRWIYDT	50'
SKLASGVPSR	FSGSGSTDY	TFTISSLQPE	DIATYQCQW	SSNPFTFGQG	100'
TKLQITRTVA	APSVFIFPPS	DEQLKSGTAS	VVCLLNNFYP	REAKVQWQVD	150'
NALQSGNSQE	SVTEQDSKDS	TYSLSSTLTL	SKADYEKHKV	YACEVTHQGL	200'
SSPVTKSFNR	GEC				213'

Disulfide bridges location / Position des ponts disulfure / Posiciones de los puentes disulfuro

22-96 22''-96'' 23'-87' 23''-87'' 133'-193' 133''-193'' 146-202 146''-202''
213'-222 213''-222'' 228-228'' 231-231'' 263-323 263''-323'' 369-427 369''-427''

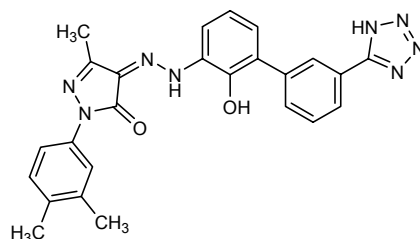
terameprocolumterameprocol 1,1'-[(2*R*,3*S*)-2,3-dimethylbutane-1,4-diyl]bis(3,4-dimethoxybenzene)térameprocol 1,1'-[(2*R*,3*S*)-2,3-diméthylbutane-1,4-diyl]bis(3,4-diméthoxybenzène)terameprocol 1,1'-[(2*R*,3*S*)-2,3-dimetilbutano-1,4-diil]bis(3,4-dimetoxibenceno)C₂₂H₃₀O₄**thrombinum alfa***thrombin alfa human thrombin (recombinant, glycoform α)thrombine alfa thrombine humaine (recombinante, glycoforme α)trombina alfa trombina humana (recombinante, glicoforma α)C₁₅₁₁H₂₃₄₂N₄₁₆O₄₃₆S₁₅

Light chain / Chaîne légère / Cadena ligera

TFGSGEADCG LRPLFEKKSL EDKTERELLE SYIDGR 36

Heavy chain / Chaîne lourde / Cadena pesada

QVMLFRKSPQ	ELLCGASLIS	DRWVLTAAHC	LLYPPWDKNF	IVEG	SDAETGMSPW	50
KHSRTRYERN	IEKISMLEKI	YIHPRYNWRE	NLDRDIALMK		TENDLLVRIG	100
IHPVCLPDRE	TAASLLQAGY	KGRVTGWGNL	KETWTANVGK		LKKPVAFSDY	150
LPIVERPVCK	DSTRIRITDN	MFCAGYKPDE	GKRGDACEGD		GQPSVLQVNV	200
FNNRWYQMG	VSWGEGCDRD	GKYGFYTHVF	RLKKWIQKVI		SGGPFVMKSP	250
					DQFGE	295

Disulfide bridges location / Position des ponts disulfure / Posiciones de los puentes disulfuro
9-155 64-80 209-223 237-267Glycosylation site / Site de glycosylation / Posición de glicosilación
Asn-89**totrombopagum**totrombopag (4*Z*)-2-(3,4-dimethylphenyl)-4-{2-[2-hydroxy-3'-(1*H*-tetrazol-5-yl)=[1,1'-biphenyl-3-yl]]hydrazinylidene)-5-methyl-2,4-dihydro-3*H*-pyrazol-3-onetotrombopag (4*Z*)-2-(3,4-diméthylphényl)-4-{2-[2-hydroxy-3'-(1*H*-tétrazol-5-yl)=[1,1'-biphényl-3-yl]]diazanylidène)-5-méthyl-2,4-dihydro-3*H*-pyrazol-3-onetotrombopag (4*Z*)-2-(3,4-dimetilfenil)-4-{2-[2-hidroxi-3'-(1*H*-tetrazol-5-il)=[1,1'-bifenil-3-il]]hidrazinilideno)-5-metil-2,4-dihidro-3*H*-pirazol-3-onaC₂₅H₂₂N₈O₂

trabedersenum

trabedersen

2'-deoxy-*P*-thiocytidylyl-(3'→5')-2'-deoxy-*P*-thioguanilyl-(3'→5')-2'-deoxy-*P*-thioguanilyl-(3'→5')-2'-deoxy-*P*-thiocytidylyl-(3'→5')-2'-deoxy-*P*-thiocytidylyl-(3'→5')-2'-deoxy-*P*-thioadenilyl-(3'→5')-*P*-thiothymidylyl-(3'→5')-2'-deoxy-*P*-thioguanilyl-(3'→5')-*P*-thiothymidylyl-(3'→5')-2'-deoxy-*P*-thiocytidylyl-(3'→5')-*P*-thiothymidylyl-(3'→5')-2'-deoxy-*P*-thioadenilyl-(3'→5')-*P*-thiothymidylyl-(3'→5')-*P*-thiothymidylyl-(3'→5')-*P*-thiothymidylyl-(3'→5')-2'-deoxy-*P*-thioadenilyl-(3'→5')-*P*-thiothymidylyl-(3'→5')-2'-deoxy-*P*-thioguanilyl-(3'→5')-*P*-thiothymidylyl-(3'→5')-2'-deoxyadenosine

trabédersen

2'-déoxy-*P*-thiocytidylyl-(3'→5')-2'-déoxy-*P*-thioguanilyl-(3'→5')-2'-déoxy-*P*-thioguanilyl-(3'→5')-2'-déoxy-*P*-thiocytidylyl-(3'→5')-2'-déoxy-*P*-thioadénylyl-(3'→5')-*P*-thiothymidylyl-(3'→5')-2'-déoxy-*P*-thioguanilyl-(3'→5')-*P*-thiothymidylyl-(3'→5')-2'-déoxy-*P*-thiocytidylyl-(3'→5')-*P*-thiothymidylyl-(3'→5')-2'-déoxy-*P*-thioadénylyl-(3'→5')-*P*-thiothymidylyl-(3'→5')-*P*-thiothymidylyl-(3'→5')-*P*-thiothymidylyl-(3'→5')-2'-déoxy-*P*-thioadenilyl-(3'→5')-*P*-thiothymidylyl-(3'→5')-2'-déoxy-*P*-thioguanilyl-(3'→5')-*P*-thiothymidylyl-(3'→5')-2'-déoxyadénosine

trabedersén

2'-desoxi-*P*-tiocitidilil-(3'→5')-2'-desoxi-*P*-tioguanilil-(3'→5')-2'-desoxi-*P*-tioguanilil-(3'→5')-2'-desoxi-*P*-tiocitidilil-(3'→5')-2'-desoxi-*P*-tiocitidilil-(3'→5')-2'-desoxi-*P*-tiocitidilil-(3'→5')-2'-desoxi-*P*-tioguanilil-(3'→5')-*P*-tiotimidilil-(3'→5')-2'-desoxi-*P*-tioguanilil-(3'→5')-*P*-tiotimidilil-(3'→5')-2'-desoxi-*P*-tiocitidilil-(3'→5')-*P*-tiotimidilil-(3'→5')-2'-desoxi-*P*-tiocitidilil-(3'→5')-*P*-tiotimidilil-(3'→5')-*P*-tiotimidilil-(3'→5')-2'-desoxi-*P*-tiocitidilil-(3'→5')-*P*-tiotimidilil-(3'→5')-2'-desoxi-*P*-tioguanilil-(3'→5')-*P*-tiotimidilil-(3'→5')-2'-desoxiadenosina

C₁₇₇H₂₂₅N₆₀O₉₄P₁₇S₁₇**trelanserinum**

trelanserin

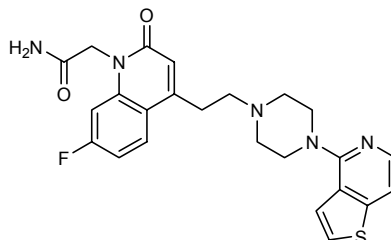
2-(7-fluoro-2-oxo-4-{2-[4-(thieno[3,2-c]pyridin-4-yl)piperazin-1-yl]ethyl}-1,2-dihydroquinolin-1-yl)acetamide

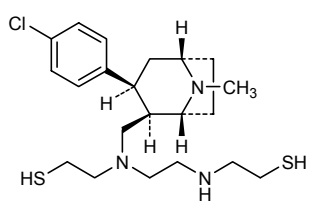
trélansérine

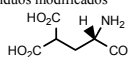
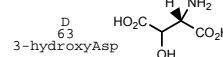
2-(7-fluoro-2-oxo-4-{2-[4-(thiéno[3,2-c]pyridin-4-yl)pipérazin-1-yl]éthyl}-1,2-dihydroquinoléin-1-yl)acétamide

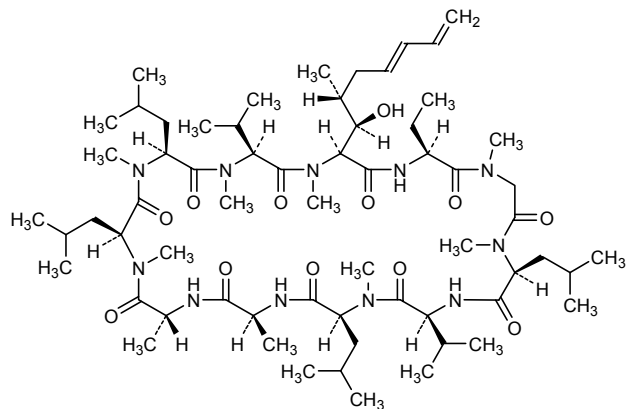
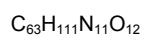
trelanserina

2-(7-fluoro-2-oxo-4-{2-[4-(tieno[3,2-c]piridin-4-il)piperazin-1-il]etil}-1,2-dihidroquinolin-1-il)acetamida

C₂₄H₂₄FN₅O₂S

tremelimumabum *	
tremelimumab	immunoglobulin G2, anti-(human CTLA-4 (antigen)) (human monoclonal CP-675206 clone 11.2.1 heavy chain), disulfide with human monoclonal CP-675206 clone 11.2.1 light chain, dimer
tréméliumab	immunoglobuline G2, anti-(protéine 4 cytotoxique du lymphocyte T humain (antigène CD 152)) dimère du disulfure entre la chaîne lourde et la chaîne légère de l'anticorps monoclonal humain clone 11.2.1 du CP-675206
tremelimumab	inmunoglobulina G2, anti-(proteína 4 citotóxica de linfocitos T humanos (antígeno CD 152)) dímero del disulfuro entre la cadena pesada y la cadena ligera del anticuerpo monoclonal humano CP-675206 clon 11.2.1
	$C_{6500}H_{9974}N_{1726}O_{2026}S_{52}$
tridecactidum	
tridecactide	alpha-1-13-corticotropin, human L-seryl-L-tyrosyl-L-seryl-L-methionyl-L-glutamyl-L-histidyl-L-phenylalanyl-L-arginyl-L-tryptophylglycyl-L-lysyl-L-prolyl-L-valine
tridéactide	alpha-1-13-corticotropine, humaine L-séryl-L-tyrosyl-L-séryl-L-méthionyl-L-glutamyl-L-histidyl-L-phénylalanyl-L-arginyl-L-tryptophylglycyl-L-lysyl-L-prolyl-L-valine
tridecactida	alfa-1-13-corticotropina, humana L-seril-L-tirosil-L-seril-L-metionil-L-glutamyl-L-histidil-L-fenilalanil-L-arginil-L-triptofilglicil-L-lisil-L-prolil-L-valina
	$C_{75}H_{106}N_{20}O_{19}S$
	H-Ser-Tyr-Ser-Met-Glu-His-Phe-Arg-Trp-Gly-Lys-Pro-Val-OH 10
tropantium	
tropantol	2-(((1 <i>R</i> ,2 <i>R</i> ,3 <i>S</i> ,5 <i>S</i>)-3-(4-chlorophenyl)-8-methyl-8-azabicyclo[3.2.1]octan-2-yl)methyl){2-[(2-sulfanylethyl)amino]ethyl}amino)ethanethiol
tropantol	2-(((1 <i>R</i> ,2 <i>R</i> ,3 <i>S</i> ,5 <i>S</i>)-3-(4-chlorophényl)-8-méthyl-8-azabicyclo[3.2.1]octan-2-yl)méthyl){2-[(2-sulfanyléthyl)amino]éthyl}amino)éthanethiol
tropantol	2-(((1 <i>R</i> ,2 <i>R</i> ,3 <i>S</i> ,5 <i>S</i>)-3-(4-clorofenil)-8-azabicyclo[3.2.1]octan-2-il)metil){2-[(2-sulfaniletil)amino]etil}amino)etanotiol
	$C_{21}H_{34}ClN_3S_2$
	

vatreptacogum alfa (activatum)* vatreptacog alfa (activated)	[158-aspartic acid, 296-valine, 298-glutamine]human coagulation factor VII activated, recombinant DNA origin
vatreptacog alfa (activé)	[158-acide aspartique, 296-valine, 298-glutamine]facteur de coagulation VII humain activé, origine ADN recombinant
vatreptacog alfa (activada)	[158-ácido aspártico, 296-valina, 298-glutamina]factor de coagulación VII humano activado ; origen ADN recombinante
$C_{1981}H_{3051}N_{561}O_{620}S_{27}$	
Light chain / Chaîne légère / Cadena ligera ANAFLEELRP GSLEERECKEE QCSFEAREI FKDAERTKLF WISYSDGDQC 50 ASSPCQNGGS CKDQLQSYIC FCLPAFEGRN CETHKDDQLI CVNENGGCEQ 100 YCSDHTGTRK SCRCHEGYSL LADGVSCTPT VEYPCGKIPI LEKRNASKPQ 150 GR 152	
Heavy chain / Chaîne lourde / Cadena pesada IVGGKDCP KGECPWQVLL LVNGAQLCGG TLINTIWWVS AAHCFDKIKN 200 WRNLLAVLGE HDLSEHDGDE QSRRAQVVI PSTIYVPTIN HDIALLRLHQ 250 FVLTDHVP LCLPERFSE RTLAFVRFSL VSGWQLLDR GATALLVQL 300 NVPLMTQDC LQSRKVGDS PNITETMPCA GYSDGSKDSC KGDSGGPHAT 350 HYRGTWYLTG IVSWGQCACAT VGHFVYTRV SQYIEWLQKL MRSEPRPGLV 400 LRAPFP 406	
Modified residues / Résidus modifiés / Residuos modificados 6-7-14-16-19-20-25-26-29-35 E 4-carboxyGlu  3-hydroxyAsp 	
Disulfide bridges location / Position des ponts disulfure / Posiciones de los puentes disulfuro 17-22 50-61 55-70 72-81 91-102 98-112 114-127 135-262 159-164 178-194 310-329 340-368	
Glycosylation sites / Sites de glycosylation / Posiciones de glicosilación Ser-52 Ser-60 Asn-145 Asn-322	
velimogenum aliplasmidum* velimogene aliplasmid	plasmid DNA vector, expressing HLA-B7 and beta-2 microglobulin, driven by a Rous sarcoma virus promoter
vélimogène aliplasmide	vecteur ADN plasmidique, contenant les gènes HLA-B7 et beta2-microglobuline, sous le contrôle du promoteur virus de sarcome de Rous
velimogén aliplásmido	vector ADN de plásmido, que contiene los genes HLA-B7 y beta2-microglobulina, controlado por el promotor de virus del sarcoma de Rous
voclosporinum voclosporin	1,11-anhydro[L-alanyl-D-alanyl-N-methyl-L-leucyl-N-methyl-L-leucyl-N-methyl-L-valyl-[(2S,3R,4R,6E)-3-hydroxy-4-methyl-2-(methylamino)nona-6,8-dienoyl][(2S)-2-aminobutanoyl]-N-methylglycyl-N-methyl-L-leucyl-L-valyl-N-methyl-L-leucine]
voclosporine	1,11anhydro{L-alanyl-D-alanyl-N-méthyl-L-leucyl-N-méthyl-L-leucyl-N-méthyl-L-valyl-[(2S,3R,4R,6E)-3-hydroxy-4-méthyl-2-(méthylamino)nona-6,8-diénoyl]-[(2S)-2-aminobutanoyl]-N-méthylglycyl-N-méthyl-L-leucyl-L-valyl-N-méthyl-L-leucyl}
voclosporina	1,11-anhidro[L-alanil-D-alanil-N-metil-L-leucil-N-metil-L-leucil-N-metil-L-valil-[(2S,3R,4R,6E)-3-hidroxi-4-metil-2-(metilamino)nona-6,8-dienoil][(2S)-2-aminobutanoil]-N-metilglicil-N-metil-L-leucil-L-valil-N-methyl-L-leucina]



**AMENDMENTS TO PREVIOUS LISTS
MODIFICATIONS APPORTÉES AUX LISTES ANTÉRIEURES
MODIFICACIONES A LAS LISTAS ANTERIORES**

Recommended International Nonproprietary Names (Rec. INN): List 49
Dénominations communes internationales recommandées (DCI Rec.): Liste 49
Denominaciones Comunes Internacionales Recomendadas (DCI Rec.): Lista 49
(WHO Drug Information, Vol. 17, No. 2, 2003)

p. 123 *suprimáse* *insértese*
 garenoxacina garenoxacino

Recommended International Nonproprietary Names (Rec. INN): List 52
Dénominations communes internationales recommandées (DCI Rec.): Liste 52
Denominaciones Comunes Internacionales Recomendadas (DCI Rec.): Lista 52
(WHO Drug Information, Vol. 18, No. 3, 2004)

p. 248 **certolizumabum pegolum**
 certolizumab pegol *insert the following CAS*
 certolizumab pégol *insérer le CAS suivant:*
 certolizumab pegol *insértese el nombre del CAS por el siguiente:*

immunoglobulin, anti-(human tumor necrosis factor α) Fab' fragment (human mouse monoclonal CDP870 heavy chain, disulfide bonded with human mouse monoclonal CDP870 light chain), pegylated at Cys-227 on the heavy chain

immunoglobuline, anti-(facteur α de nécrose tumorale humain) ; (disulfure entre le fragment Fab' de la chaîne lourde et la chaîne légère de l'anticorps monoclonal de souris CDP870 humanisé), pégylée à Cyst-227 sur la chaîne lourde

inmunoglobulina, anti-(factor α de necrosis tumoral humano) fragmento Fab' (cadena pesada del anticuerpo monoclonal humanizado de ratón CDP870), disulfuro con la cadena ligera del anticuerpo monoclonal humanizado de ratón CDP870), pegilado Cis-227 de la cadena pesada

Recommended International Nonproprietary Names (Rec. INN): List 57
Dénominations communes internationales recommandées (DCI Rec.): Liste 57
Denominaciones Comunes Internacionales Recomendadas (DCI Rec.): Lista 57
(WHO Drug Information, Vol. 21, No. 1, 2007)

p. 61 **beroctocogum alfa***
 beroctocog alfa *replace the chemical structure and molecular formula by the following ones*
 béroctocog alfa *remplacer la structure chimique et la formule brute par les suivantes*
 beroctocog alfa *sustitúyase la fórmula desarrollada y la fórmula molecular por las siguientes*

$C_{3821}H_{5813}N_{1003}O_{1139}S_{35} + C_{3547}H_{5400}N_{956}O_{1033}S_{35}$

human blood-coagulation factor VIII-(1-740)-peptide

ATRRYYLGAV	ELSWDYMQSD	LGELPVDARF	PPRVKSFPP	NTSVVYKCTL	50
FVEFTDHLFN	IAKPRPPWMG	LLGPTIQAEV	YDVTVITLKN	MASHPVSLHA	100
VGVSYWKASE	GAEYDDQTSQ	REKEDDKVFP	GGSHTYVWVQ	LKENGPMASD	150
PLCLTYSYLS	HVDLVKDLNS	GLIGALLVCR	EGSLAKEKQ	TLHKFILLFA	200
VFDEGKSWHS	ETKNSLMQDR	DAASARAWPK	MHTVNGYVNR	SLPGLIGCHR	250
KSVYWHVIGM	GTTPEVHSIF	LEGHTFLVRN	HRQASLEISP	ITFLTAQTL	300
MDLGQFLLFC	HISSHQHDGM	EAYVKVDSCP	EPEQLRMKN	EEAEDYDDL	350
TDSEMDVVR	DDNSPFSIQ	IRSVAKKHPK	TWVHYIAAE	EDWDYAPLVL	400
APDDRSYKSQ	YLNNGPQRI	RKYKRVRFMA	YTDETFKTR	AIQHEGILG	450
PLLYGEVGD	LLIIFKNQAS	RPYNIYPHGI	TDVRLYSRR	LPGVKHLKD	500
FPILPGEIFK	YKWTVTVEDG	PTKSDPRCLT	RYYSFVNME	RDLASGLIGP	550
LLICYKESVD	QRGNQIMSDK	RNVILFSVFD	ENRSWYLTEN	IQRFLPNPAG	600
VQLEDEPFQA	SNIMHSINGY	VFDSLQLSVC	LHEVAYWYIL	STGAQTFDLS	650
VFFSGYTFKH	KMVEDTLTL	FPFSGETVFM	SMENPGLWIL	GCHNSDFRNR	700
GMTALLKVVSS	CDKNTGDYEE	DSYEDISAYL	LKNNNAIEPR	S	741

human blood-coagulation factor VIII-(1649-2332)-peptide

				EI	1650
TRTTLQSDQE	EIDYDDTISV	EMKKEDFDIY	DEDENQSPRS	FQKKTRHYFI	1700
AAVERLWDYG	MSSSPHVLNR	RAQSGSVPPQ	KKVVFQFTD	GSFTQPLYRG	1750
ELNEHLGLLG	PYIRAEVEDN	IMVTFRNQAS	RPYSFYSSLI	SYEEDQRQGA	1800
EPRKNFVKPN	ETKTYFWKVQ	HHMARTKDEF	DKAWAYSSD	VDLEKDVHSG	1850
LIGPLLVCHT	NTLNPAHGRQ	VTVQEFALFF	TIFDETKSWY	FTENMERNCR	1900
APCNIQMEDP	TFKENYRFHA	INGYIMDTLP	GLVMAQDQRI	RWYLLSMGSN	1950
ENIHSIHFSG	HVFTVRKKEE	YKMALYNLYP	GVFETVEMLP	SKAGIWRVEC	2000
LIGEHLHAGM	STLFLVYSNK	CQPLGMASG	HIRDFQITAS	GQYQGWAPKL	2050
ARLHYSGSIN	AWSTKEPFSW	IKVDLLAPMI	IHGKIQGAR	QKFSLSYISQ	2100
FIIMYSLDGK	KWQTYRGNST	GTLMVFFGNV	DSSGIKHNI	NPPIIARYIR	2150
LHPTHYSIRS	TLRMELMGCD	LNSCSMPLGM	ESKAISDAQI	TASSYFTNMF	2200
ATWSPSKARL	HLQGRSNAWR	PQVNNPKEWL	QVDFQKTMKV	TGVTTOGVKS	2250
LLTSMYVKEF	LISSSQDGHQ	WTLFFQNGKV	KVFQGNQDSF	TPVNVSLDPP	2300
LLTRYLRIRHP	QSWVHQIALR	MEVLGCEAQD	LY		2332

Disulfide bridges location / Position des ponts disulfure / Posiciones de los puentes disulfuro
153-179 528-554 1899-1903 2021-2169 2174-2326

Glycosylation sites / Sites de glycosylation / Posiciones de glicosilación
Asn-41 Asn-239 Asn-582 Asn-1810 Asn-2118

Modifications / Modificaciones / Modificaciones
Y = 4-O-sulfotyrosyl

- * Electronic structure available on Mednet: <http://mednet.who.int/>
- * Structure électronique disponible sur Mednet: <http://mednet.who.int/>
- * Estructura electrónica disponible en Mednet: <http://mednet.who.int/>

Procedure and Guiding Principles / Procédure et Directives / Procedimientos y principios generales

The text of the *Procedures for the Selection of Recommended International Nonproprietary Names for Pharmaceutical Substances and General Principles for Guidance in Devising International Nonproprietary Names for Pharmaceutical Substances* will be reproduced in proposed INN lists only.

Les textes de la *Procédure à suivre en vue du choix de dénominations communes internationales recommandées pour les substances pharmaceutiques* et des *Directives générales pour la formation de dénominations communes internationales applicables aux substances pharmaceutiques* seront publiés seulement dans les listes des DCI proposées.

El texto de los *Procedimientos de selección de denominaciones comunes internacionales recomendadas para las sustancias farmacéuticas* y de los *Principios generales de orientación para formar denominaciones comunes internacionales para sustancias farmacéuticas* aparece solamente en las listas de DCI propuestas.

